

ФГБУ «Арктический и антарктический научно-исследовательский институт»

МЦД МЛ

Информационные материалы по мониторингу морского ледяного покрова Арктики и Южного Океана на основе данных ледового картирования и пассивного микроволнового зондирования SSMR-SSM/I-SSMIS-AMSR<sub>2</sub>

10.08.2015 - 18.08.2015

*Контактная информация:*

лаб. МЦДМЛ ААНИИ, тел. +7(812)337-3149, эл.почта: [vms@aari.aq](mailto:vms@aari.aq)

Адрес в сети Интернет: <http://wdc.aari.ru/datasets/doo42/>

## Содержание

Северное Полушарие .....	3
Рисунок 1а – Обзорная ледовая карта СЛО и повторяемость кромки за текущую неделю .....	3
Рисунок 1б – Положение кромки льда и зон разреженных и сплоченных льдов СЛО за последний доступный срок на основе ледового анализа НЛЦ США .....	4
Рисунок 2а – Общая сплоченность морского льда СЛО и субарктических морей по данным AMSR2 за последний доступный .....	5
Рисунок 2б – Общая сплоченность морского льда морей СМП по данным AMSR2 за последний доступный срок .....	6
Рисунок 3 – Обзорная ледовая карта СЛО за текущую неделю и аналогичные периоды 2007-2014 гг. .	7
Рисунок 4 – Поля распределения средневзвешенной толщины льда на основе совместной модели морского льда – океана ACNFS за текущие сутки и 2010-2014 гг. ....	8
Таблица 1 – Динамика изменения значений ледовитости для акваторий Северной полярной области за текущую неделю по данным наблюдений SSMR-SSM/I-SSMIS .....	9
Таблица 2 - Медианные значения ледовитости для Северной полярной области и 3-х меридиональных секторов за текущие 30 и 7-дневные интервалы и её аномалии от 2009-2014 гг. и интервалов 2005-2015 гг. и 1978-2015 гг. по данным наблюдений SSMR-SSM/I-SSMIS .....	9
Таблица 3 – Экстремальные и средние значения ледовитости для Северной полярной области и 3 меридиональных секторов за текущий 7-дневный интервал по данным наблюдений SSMR-SSM/I-SSMIS, алгоритм NASATEAM.....	10
Рисунок 5 – Ежедневные оценки сезонного хода ледовитости для Северной Полярной Области и её трех меридиональных секторов за период с 26.10.1978 по текущий момент времени по годам. ..	11
Рисунок 6 – Медианные распределения сплоченности льда за текущие 7 и 30 дневные интервалы времени и её разности относительно медианного распределения за те же промежутки за 1978-2015 и 2005-2015гг. на основе расчетов по данным SSMR-SSM/I-SSMIS,алгоритм NASATEAM .	13
Южный океан .....	14
Рисунок 7а – Ледовая карта Южного Океана за последний доступный срок (окраска по общей сплоченности .....	14
Рисунок 7б – Ледовая карта Южного Океана за последний доступный срок на (окраска по наиболее старому возрасту) .....	15
Рисунок 7в – Положение кромки льда и зон разреженных и сплоченных льдов Южного Океана за последний доступный срок на основе ледового анализа НЛЦ США .....	16
Рисунок 8 – Ежедневные оценки сезонного хода ледовитости Южного Океана и его трёх меридиональных секторов за период с 26.10.1978 по текущий момент времени по годам .....	17
Рисунок 9 – Медианные распределения общей сплоченности льда за текущие 7 и 30 дневные интервалы времени и её разности относительно медианного распределения за те же промежутки за периоды 1978-2015 и 2005-2015 гг. на основе расчетов по данным SSMR-SSM/I-SSMIS .....	17
Таблица 4 – Динамика изменения значений ледовитости для акваторий Южного океана за текущий 7-дневный интервал по данным наблюдений SSMR-SSM/I-SSMIS .....	18
Таблица 5 - Медианные значения ледовитости для Южного океана и 3 меридиональных секторов за текущие 30 и 7-дневные интервалы и её аномалии от 2009-2014 гг. и интервалов 2005-2015 гг. и 1978-2015 гг. по данным наблюдений SSMR-SSM/I-SSMIS, алгоритм NASATEAM.....	18
Таблица 6 – Экстремальные и средние значения ледовитости для Южного океана и 3 меридиональных секторов за текущий 7-дневный интервал по данным наблюдений SSMR-SSM/I-SSMIS, алгоритм NASATEAM.....	18
Приложение 1 – Статистические значения ледовитостей по отдельным акваториям Северной Полярной Области и Южного океана.....	19
Таблица 7 – Средние, аномалии среднего и экстремальные значения ледовитостей для Северной полярной области и её отдельных акваторий за текущие 7 и 30 дневные промежутки времени по данным наблюдений SSMR-SSM/I-SSMIS, алгоритм NASATEAM за период 1978-2015 гг.....	19
Таблица 8 – Средние, аномалии среднего и экстремальные значения ледовитостей для Южного океана и его отдельных акваторий за текущие 7 и 30 дневные интервалы времени по данным наблюдений SSMR-SSM/I-SSMIS, алгоритм NASATEAM за период 1978-2015 гг.....	21
Таблица 9 – Динамика изменения значений ледовитости для акваторий Северной полярной области и Южного океана за текущую неделю по данным наблюдений SSMIS.....	23
Характеристика исходного материала и методика расчетов .....	24

# Северное Полушарие

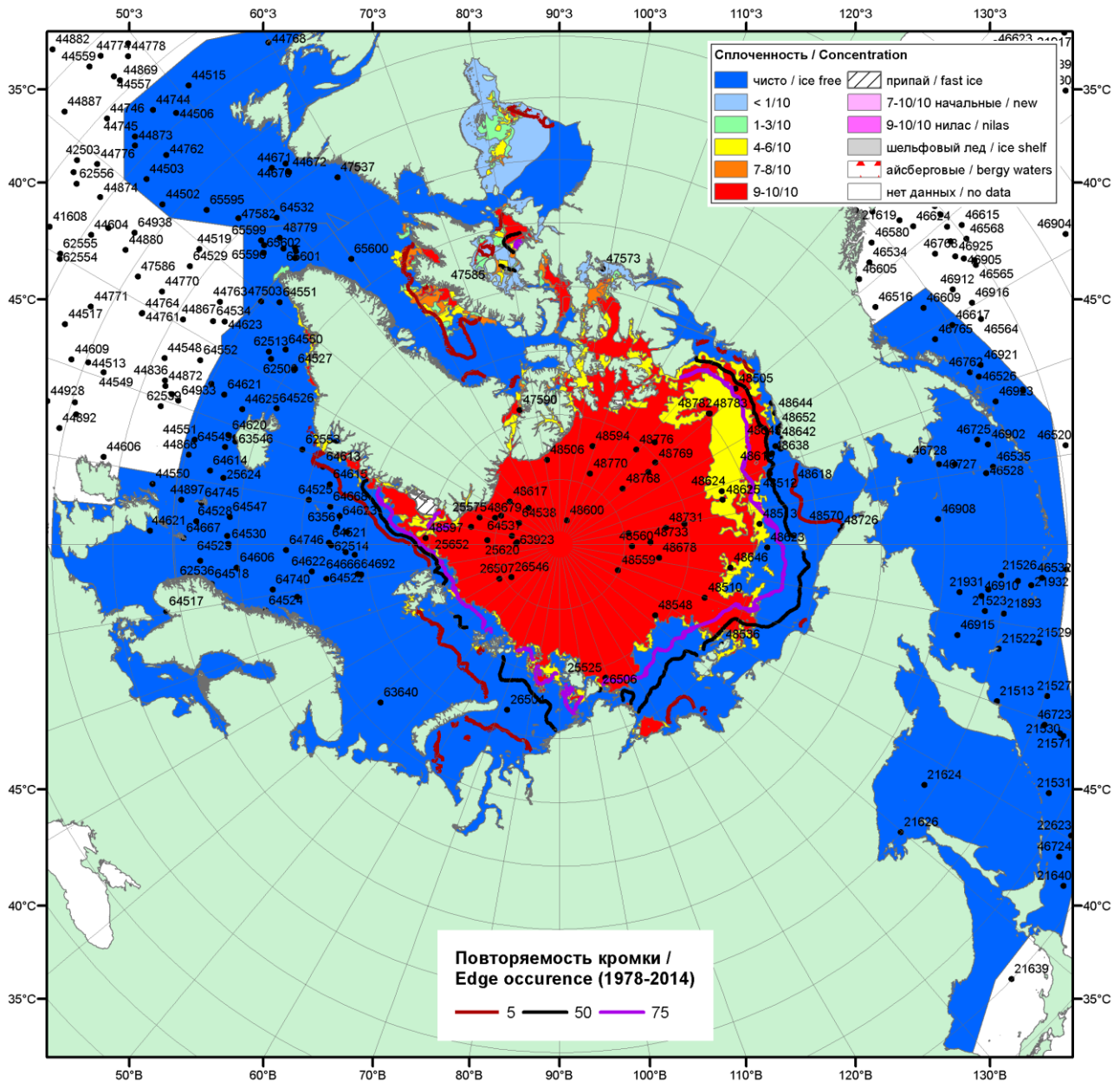


Рисунок 1а – Обзорная ледовая карта СЛО за 10.08.-18.08.2015 г. на основе ледового анализа ААНИИ (18.08), Национального ледового центра США (13.08), Канадской ледовой службы (10.08), положение метеорологической дрейфующих буев IABP и Argos на 18.08.2015T1200+00 и повторяемость кромки за 11-15.08 за период 1979-2014 гг. по наблюдениям SSMR-SSM/I-SSMIS (алгоритм NASATEAM).

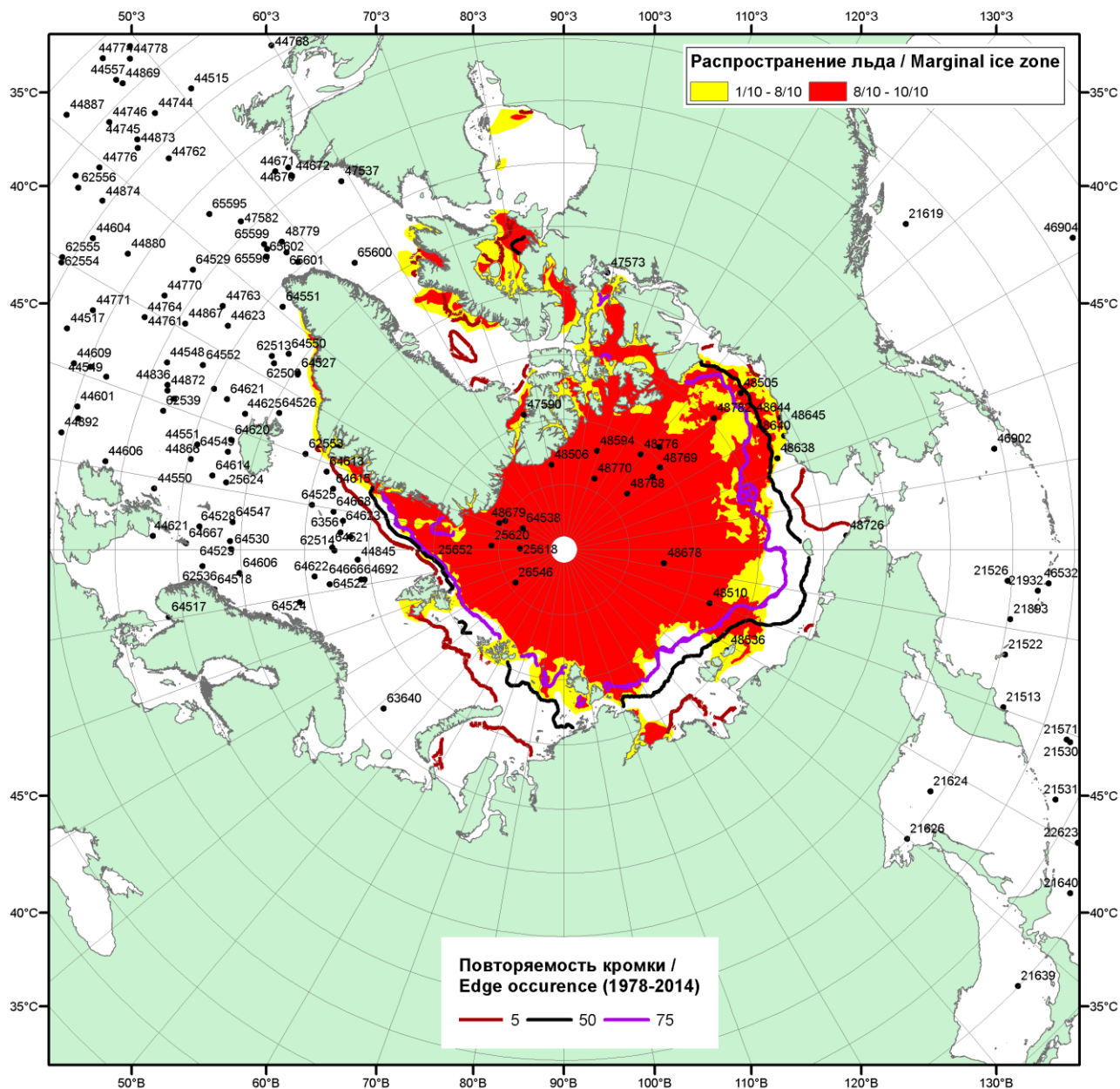


Рисунок 16 – Положение кромки льда и зон разреженных ( $<8/10$ ) и сплоченных ( $\geq 8/10$ ) льдов СЛО за 17.08.2015 г. на основе ледового анализа Национального Ледового Центра США, положение метеорологический дрейфующих буев IABP и Argos на 18.08.2015T1200+00 и повторяемость кромки за 16-20.08 за период 1979-2014 гг. по наблюдениям SSMR-SSM/I-SSMIS (алгоритм NASATEAM)

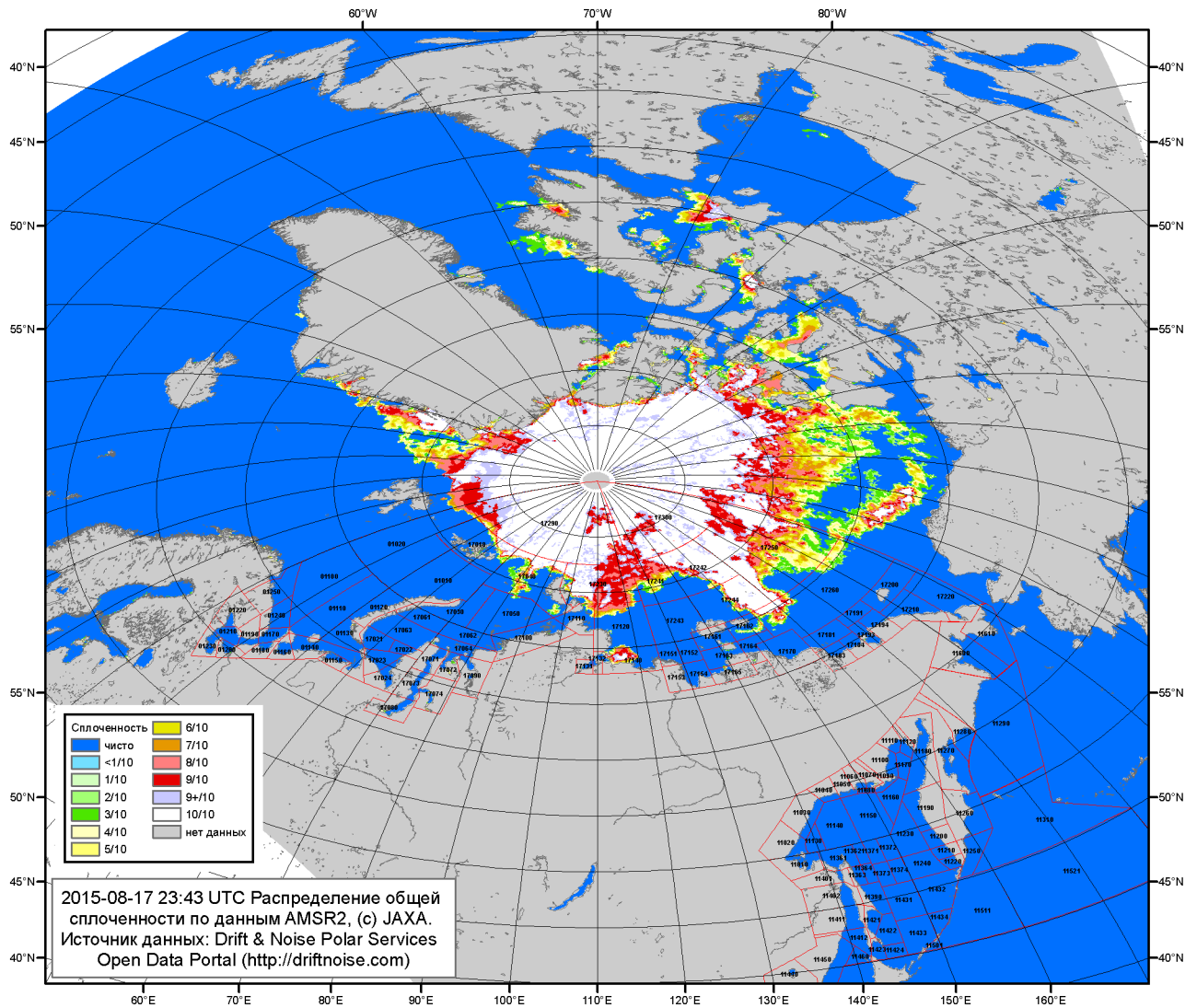


Рисунок 2а – Общая сплоченность морского льда СЛО и субарктических морей по данным AMSR2 на 17.08.2015 23:43 UTC и границы районов ГМССБ МЕТЗОН XIII, XX и XXI.

2015-08-17 23:43 UTC Распределение общей сплоченности по данным AMSR2, (c) JAXA  
 Источник данных: Drift & Noise Polar Services Open Data Portal (<http://driftnoise.com>)

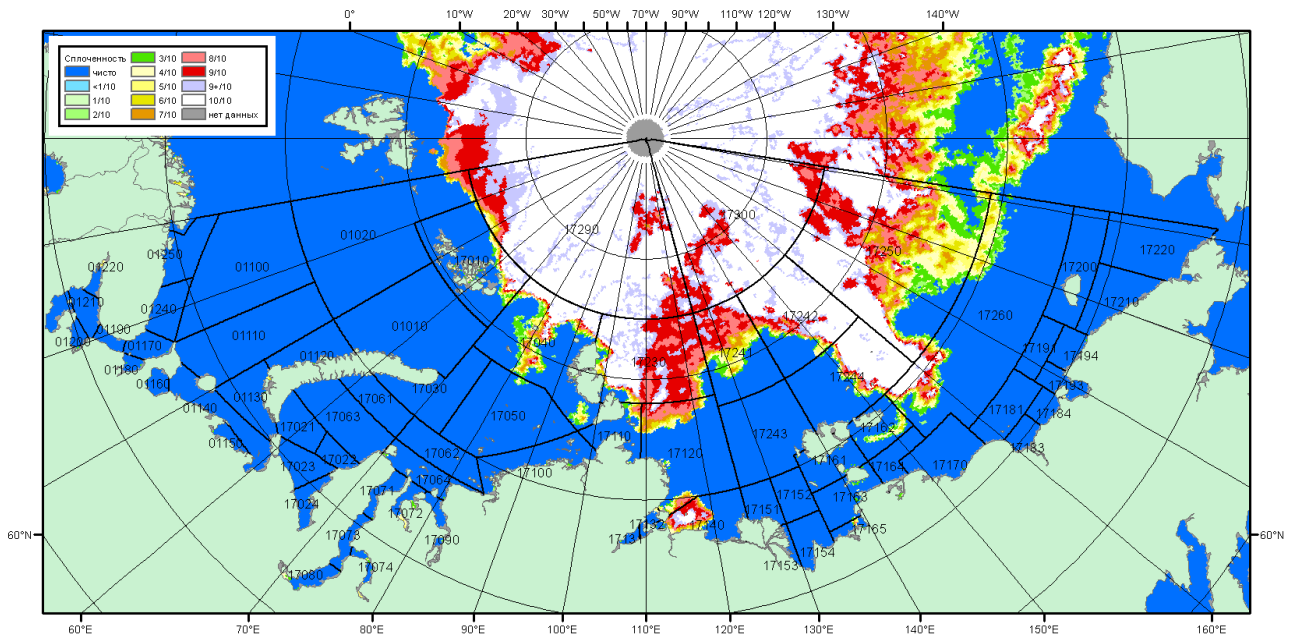


Рисунок 2б – Общая сплоченность морского льда морей СМП по данным AMSR2 на 17.08.2015 23:43 UTC и границы районов ГМССБ МЕТЗОН XX и XXI.

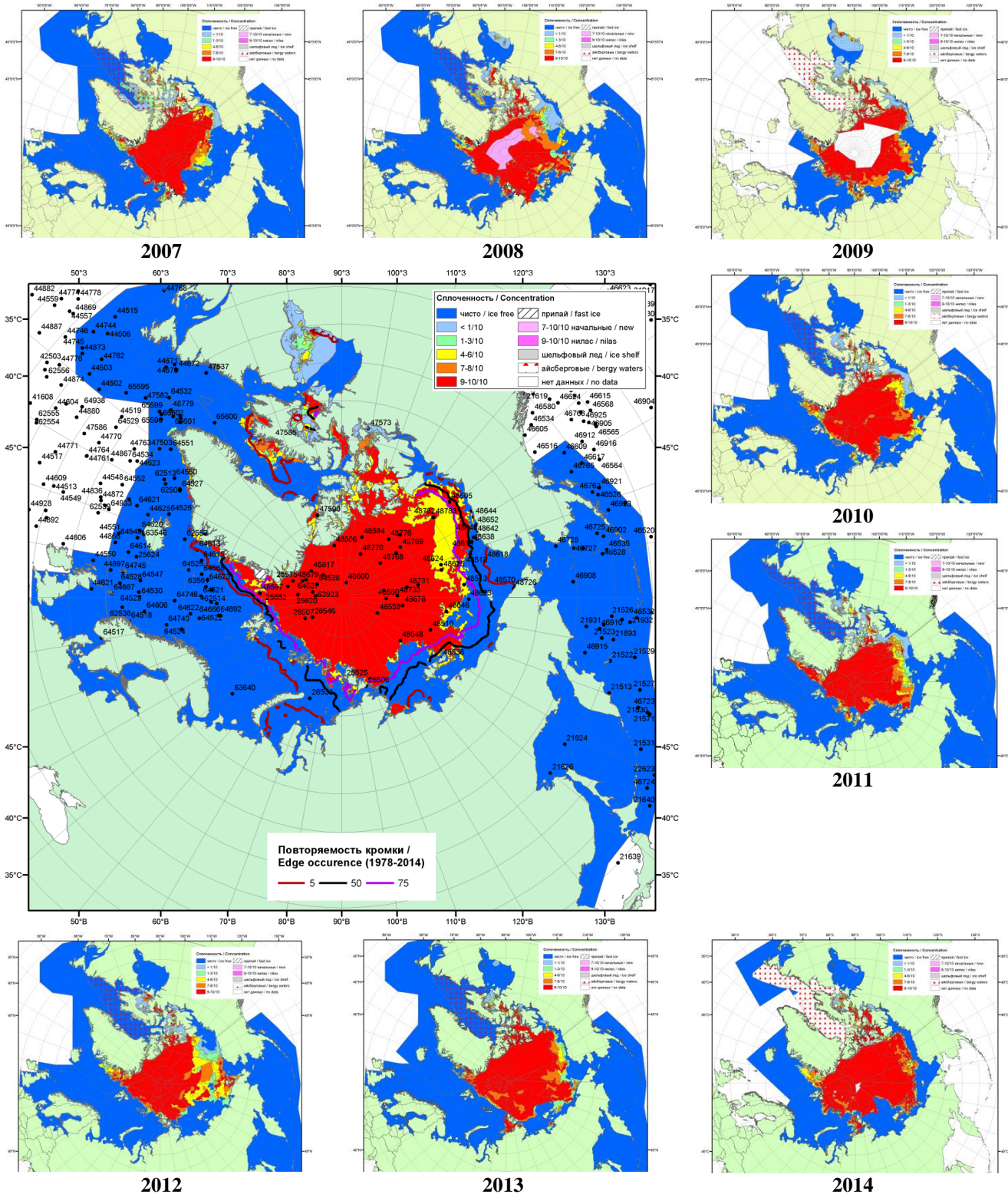
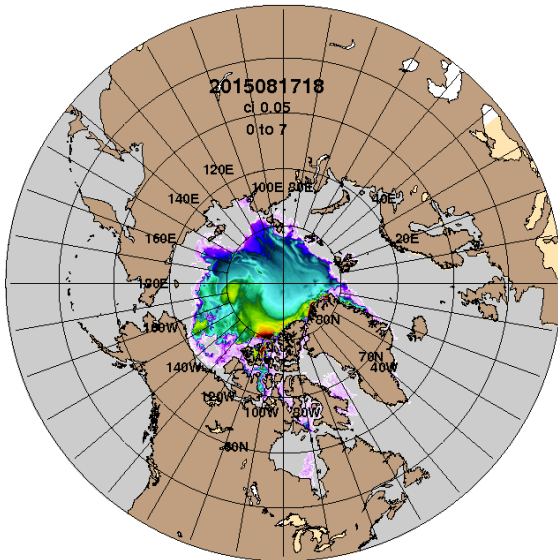


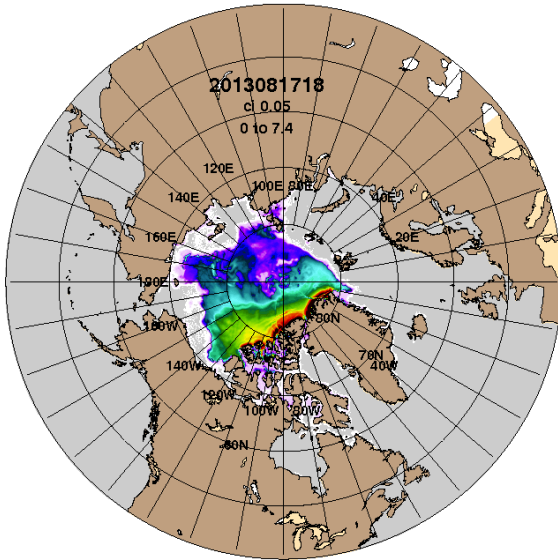
Рисунок 3 – Обзорная ледовая карта СЛО за 10.08 - 18.08.2015 г. и аналогичные периоды 2007-2014 гг. на основе ледового анализа ААНИИ, Канадской ледовой службы и Национального ледового центра США.

**ARCc0.08-04.1 Ice Thickness (m): 20150818**



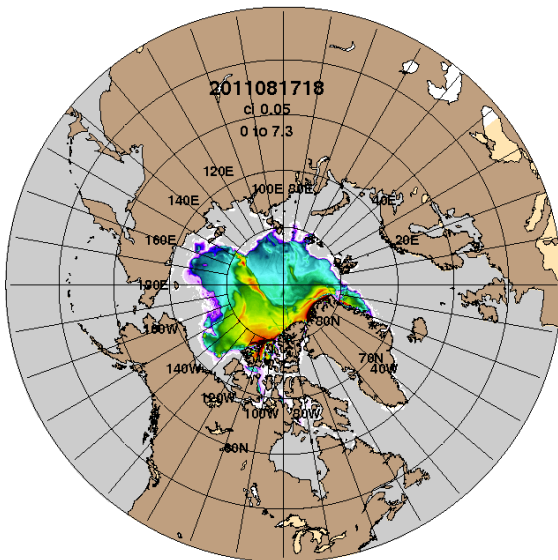
**2015-08-18**

**ARCc0.08-03.5 Ice Thickness (m): 20130818**



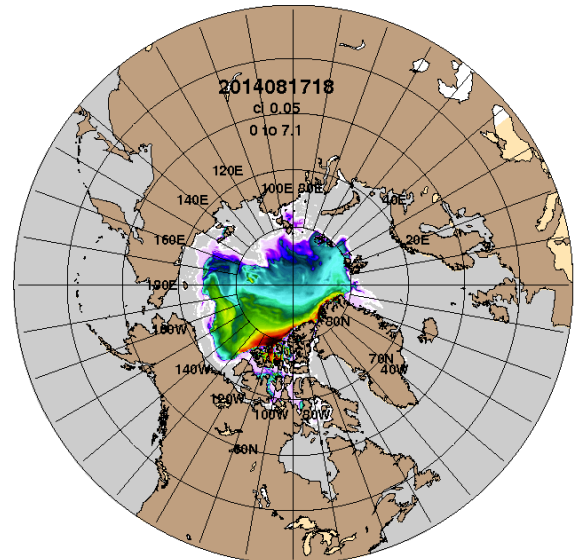
**2013-08-18**

**ARCc0.08-03.5 Ice Thickness: 20110818**



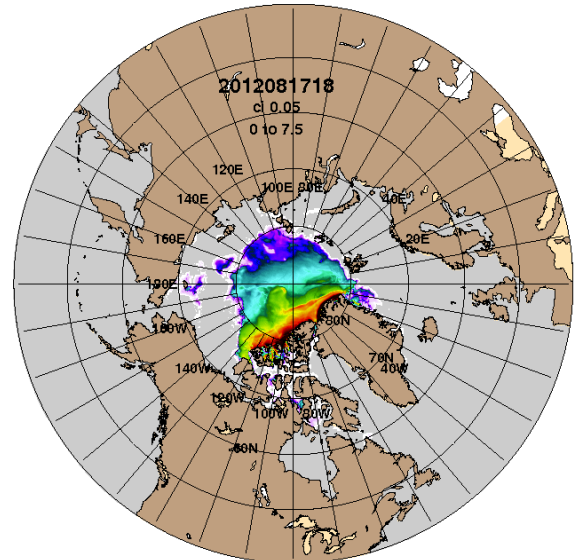
**2011-08-18**

**ARCc0.08-03.9 Ice Thickness (m): 20140818**



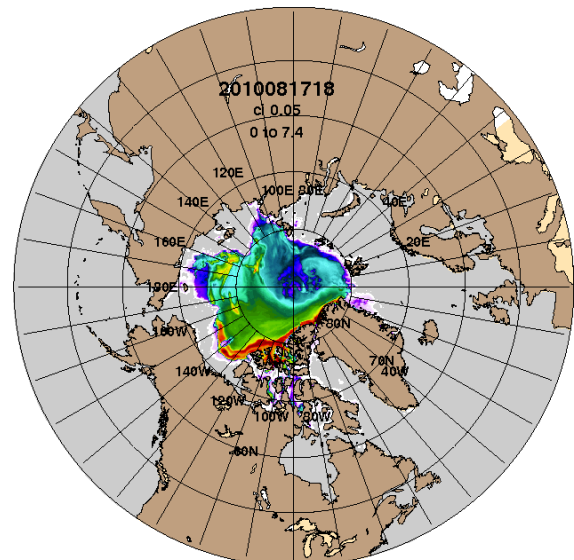
**2014-08-18**

**ARCc0.08-03.5 Ice Thickness: 20120818**



**2012-08-18**

**ARCc0.08-03.5 Ice Thickness: 20100818**



**2010-08-18**

Рисунок 4 – Поля распределения средневзвешенной толщины льда на основе совместной модели морского льда – океана ACNFS (HYCOM/NCODA/CICE) 18 августа 2015 - 2010 гг.

Таблица 1 – Динамика изменения значений ледовитости по сравнению с предыдущей неделей для морей Северной полярной области за 10 – 16 августа 2015 г. по данным наблюдений SSMR-SSM/I-SSMIS-AMSR2

Регион	Северная полярная область	Сектор 45°W-95°E (Гренландское - Карское моря)	Сектор 95°E-170°W (моря Лаптевых - Чукотское, Берингово, Охотское)	Сектор 170°W-45°W (море Бофорта и Канадская Арктика)	Северный Ледовитый океан	Моря СМП (моря Карское-Чукотское)
Разность	-536.5	-103.9	-109.0	-324.4	-499.1	-107.3
тыс.кв.км/сут.	-76.6	-14.8	-15.6	-46.3	-71.3	-15.3

Таблица 2 - Медианные значения ледовитости для Северной полярной области, 3-х меридиональных секторов и моря СМП за текущие 30 и 7-дневные интервалы и её аномалии от 2010-2014 гг. и интервалов 2005-2015 гг. и 1978-2015 гг. по данным наблюдений SSMR-SSM/I-SSMIS-AMSR2, алгоритмы NASATEAM/BOOTSTRAP

Северная полярная область								
Месяц	S, тыс. км <sup>2</sup>	Аномалии, тыс км <sup>2</sup> /%						
		2010 г	2011 г	2012 г	2013 г	2014 г	2005-2015гг	1978-2015гг
17.07-16.08	6836.7	-14.2	275.7	489.4	-106.0	-214.1	-83.6	-1220.7
		-0.2	4.2	7.7	-1.5	-3.0	-1.2	-15.1
10-16.08	5849.3	-193.5	156.7	815.1	-321.6	-419.2	-160.1	-1331.2
		-3.2	2.8	16.2	-5.2	-6.7	-2.7	-18.5
Сектор 45°W-95°E (Гренландское - Карское моря)								
Месяц	S, тыс. км <sup>2</sup>	Аномалии, тыс км <sup>2</sup> /%						
		2010 г	2011 г	2012 г	2013 г	2014 г	2005-2015гг	1978-2015гг
17.07-16.08	1472.6	36.2	-176.7	46.0	190.8	-234.7	-75.2	-441.2
		2.5	-10.7	3.2	14.9	-13.7	-4.9	-23.1
10-16.08	1260.4	5.4	-162.8	-46.3	109.8	-293.2	-123.8	-423.4
		0.4	-11.4	-3.5	9.5	-18.9	-8.9	-25.1
Сектор 95°E-170°W (моря Лаптевых - Чукотское, Берингово, Охотское)								
Месяц	S, тыс. км <sup>2</sup>	Аномалии, тыс км <sup>2</sup> /%						
		2010 г	2011 г	2012 г	2013 г	2014 г	2005-2015гг	1978-2015гг
17.07-16.08	2069.8	-337.5	-9.7	-105.0	-385.2	-89.2	-210.4	-594.0
		-14.0	-0.5	-4.8	-15.7	-4.1	-9.2	-22.3
10-16.08	1795.5	-365.9	-5.0	173.9	-351.3	44.5	-114.9	-590.1
		-16.9	-0.3	10.7	-16.4	2.5	-6.0	-24.7
Сектор 170°W-45°W (море Бофорта и Канадская Арктика)								
Месяц	S, тыс. км <sup>2</sup>	Аномалии, тыс км <sup>2</sup> /%						
		2010 г	2011 г	2012 г	2013 г	2014 г	2005-2015гг	1978-2015гг
17.07-16.08	3294.4	287.2	462.3	548.6	88.6	110.0	202.2	-185.3
		9.6	16.3	20.0	2.8	3.5	6.5	-5.3
10-16.08	2793.3	167.0	324.5	687.4	-80.1	-170.5	78.6	-317.7
		6.4	13.1	32.6	-2.8	-5.8	2.9	-10.2
Северный Ледовитый океан								
Месяц	S, тыс. км <sup>2</sup>	Аномалии, тыс км <sup>2</sup> /%						
		2010 г	2011 г	2012 г	2013 г	2014 г	2005-2015гг	1978-2015гг
17.07-16.08	6575.0	-196.5	146.4	345.9	-233.5	-369.1	-217.1	-1301.7
		-2.9	2.3	5.6	-3.4	-5.3	-3.2	-16.5
10-16.08	5668.7	-307.1	47.1	707.9	-433.8	-531.6	-257.7	-1403.1
		-5.1	0.8	14.3	-7.1	-8.6	-4.3	-19.8
Моря СМП (моря Карское-Чукотское)								
Месяц	S, тыс. км <sup>2</sup>	Аномалии, тыс км <sup>2</sup> /%						
		2010 г	2011 г	2012 г	2013 г	2014 г	2005-2015гг	1978-2015гг
17.07-16.08	769.7	-425.1	-59.5	-186.4	-461.7	-377.5	-335.5	-937.0
		-35.6	-7.2	-19.5	-37.5	-32.9	-30.4	-54.9
10-16.08	468.5	-370.9	-89.0	-46.9	-399.7	-219.2	-236.7	-851.2
		-44.2	-16.0	-9.1	-46.0	-31.9	-33.6	-64.5



Таблица 3 – Экстремальные и средние значения ледовитости для Северной полярной области, 3 меридиональных секторов и моря СМП за текущий 7-дневный интервал по данным наблюдений SSMR-SSM/I-SSMIS-AMSR2, алгоритмы NASATEAM/BOOTSTRAP

Северная полярная область

Месяц	Минимальное знач.	Максимальное знач.	Среднее знач.	Медиана
10-16.08	4826.6 16.08.2012	8577.9 10.08.1983	7180.5	7449.8

Сектор 45°W-95°E (Гренландское - Карское моря)

Месяц	Минимальное знач.	Максимальное знач.	Среднее знач.	Медиана
10-16.08	1095.8 16.08.2013	2242.0 10.08.1981	1683.8	1670.2

Сектор 95°E-170°W (моря Лаптевых - Чукотское, Берингово, Охотское)

Месяц	Минимальное знач.	Максимальное знач.	Среднее знач.	Медиана
10-16.08	1212.4 16.08.2007	3095.0 11.08.1996	2385.7	2460.6

Сектор 170°W-45°W (море Бофорта и Канадская Арктика)

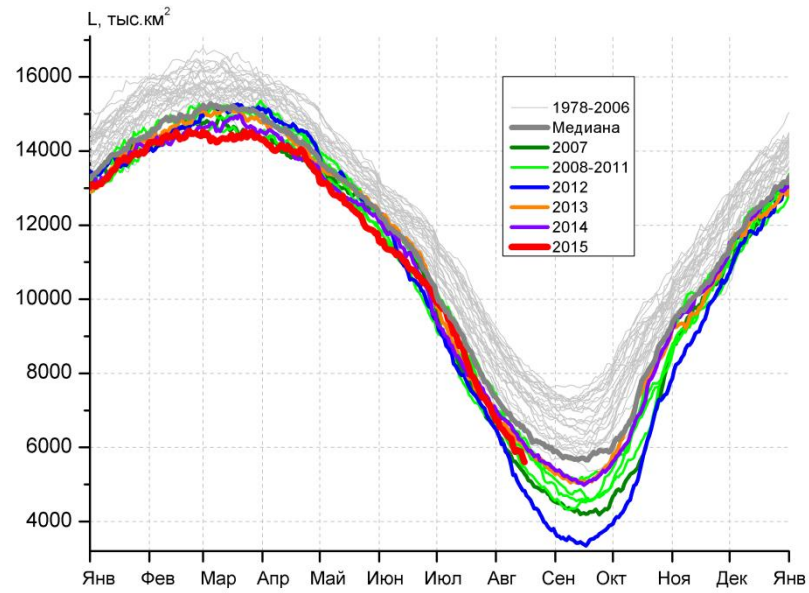
Месяц	Минимальное знач.	Максимальное знач.	Среднее знач.	Медиана
10-16.08	2001.2 15.08.2012	3837.4 10.08.1992	3111.0	3144.7

Северный Ледовитый океан

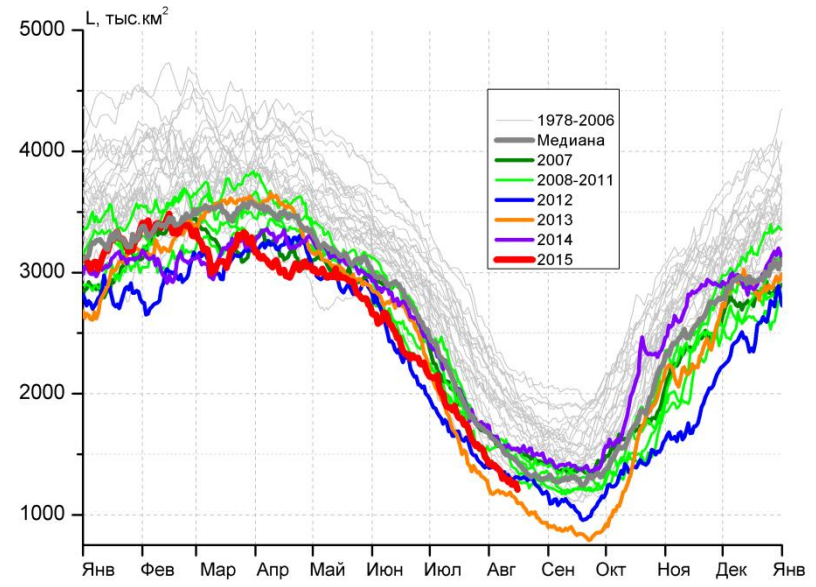
Месяц	Минимальное знач.	Максимальное знач.	Среднее знач.	Медиана
10-16.08	4748.6 16.08.2012	8413.5 10.08.1996	7071.8	7333.9

Моря СМП (моря Карское-Чукотское)

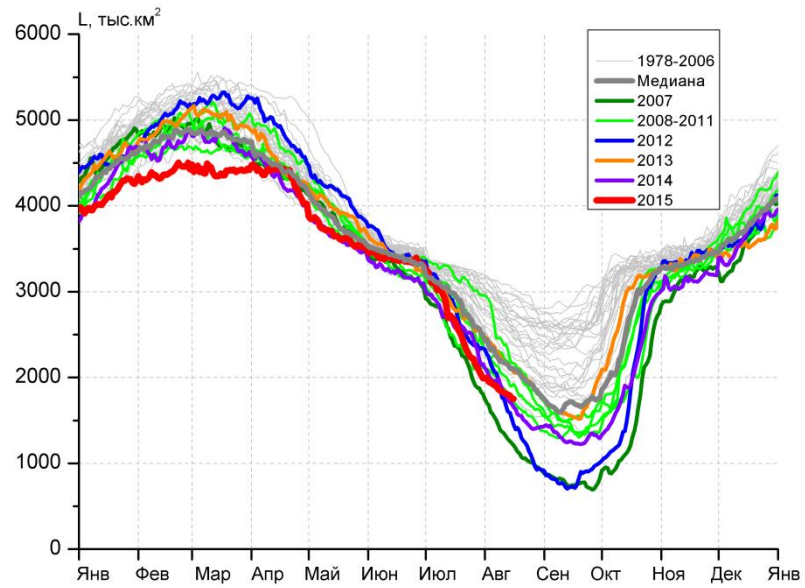
Месяц	Минимальное знач.	Максимальное знач.	Среднее знач.	Медиана
10-16.08	345.1 16.08.2012	2164.0 11.08.1996	1319.7	1384.7



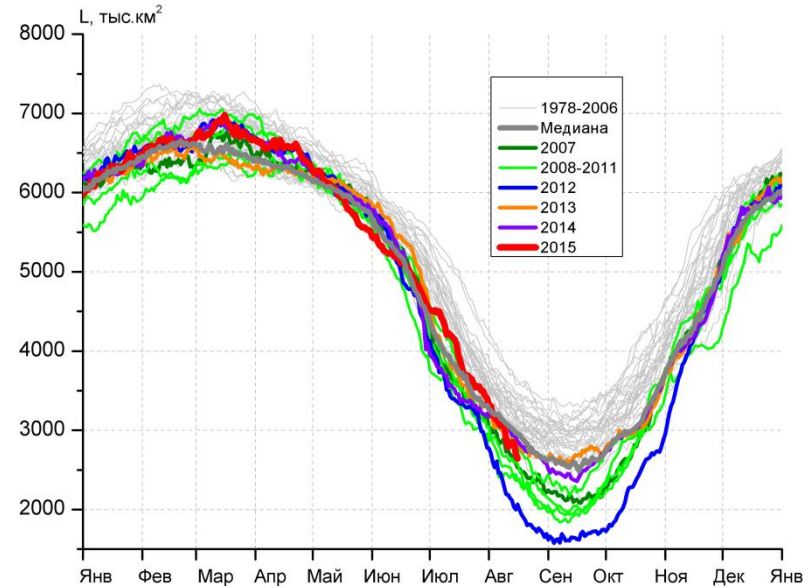
а)



б)



в)



г)

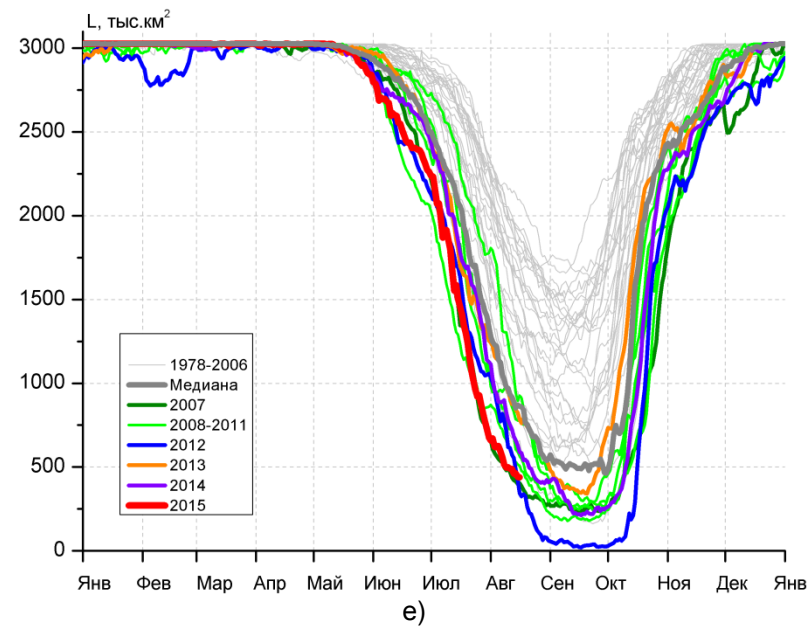
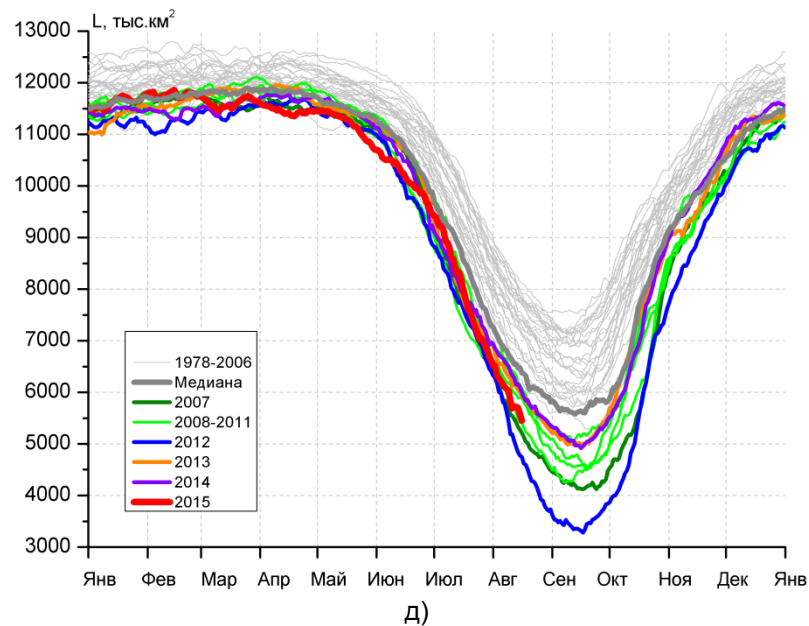


Рисунок 5 – Ежедневные оценки сезонного хода ледовитости для Северной Полярной Области и трех меридиональных секторов за период 26.10.1978 - 16.08.2015 по годам на основе расчетов по данным SSMR-SSM/I-SSMIS-AMSR2, алгоритмы NASATEAM/BOOTSTRAP: а) Северная полярная область, б) сектор 45°W-95°E (Гренландское – Карское моря), в) сектор 95°E-170°W (моря Лаптевых – Чукотское и Берингово, Охотское), г) сектор 170°W-45°W (море Бофорта и Канадская Арктика), д) Северный Ледовитый океан, е) Северный морской путь (Карское - Чукотское моря).

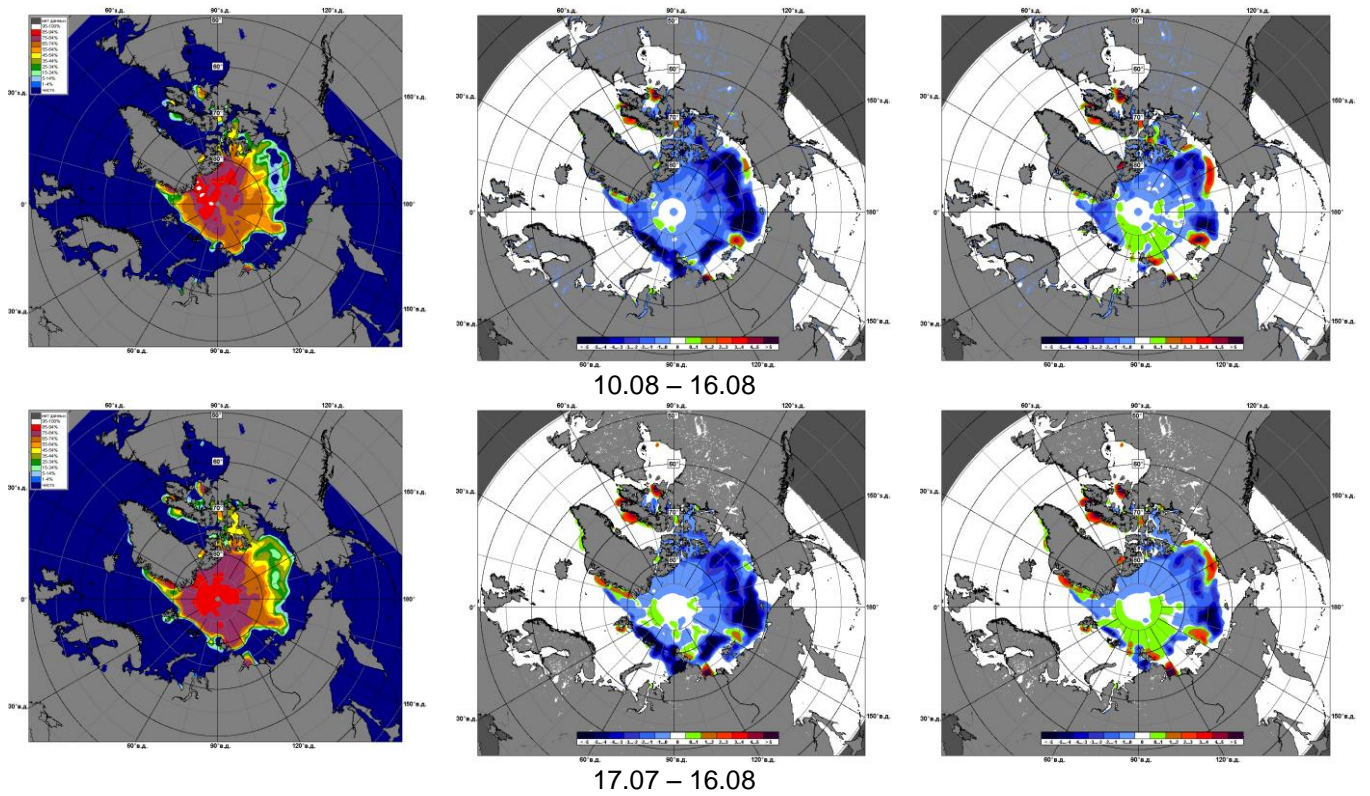


Рисунок 6 – Медианные распределения сплоченности льда за текущие 7 и 30-дневные промежутки и её разности относительно медианного распределения за те же месяца за периоды 1979-2015 (центр) и 2005-2015 гг. (справа) на основе расчетов по данным SSMR-SSM/I-SSMIS-AMSR2, алгоритмы NASATEAM/BOOTSTRAP.

# Южный океан

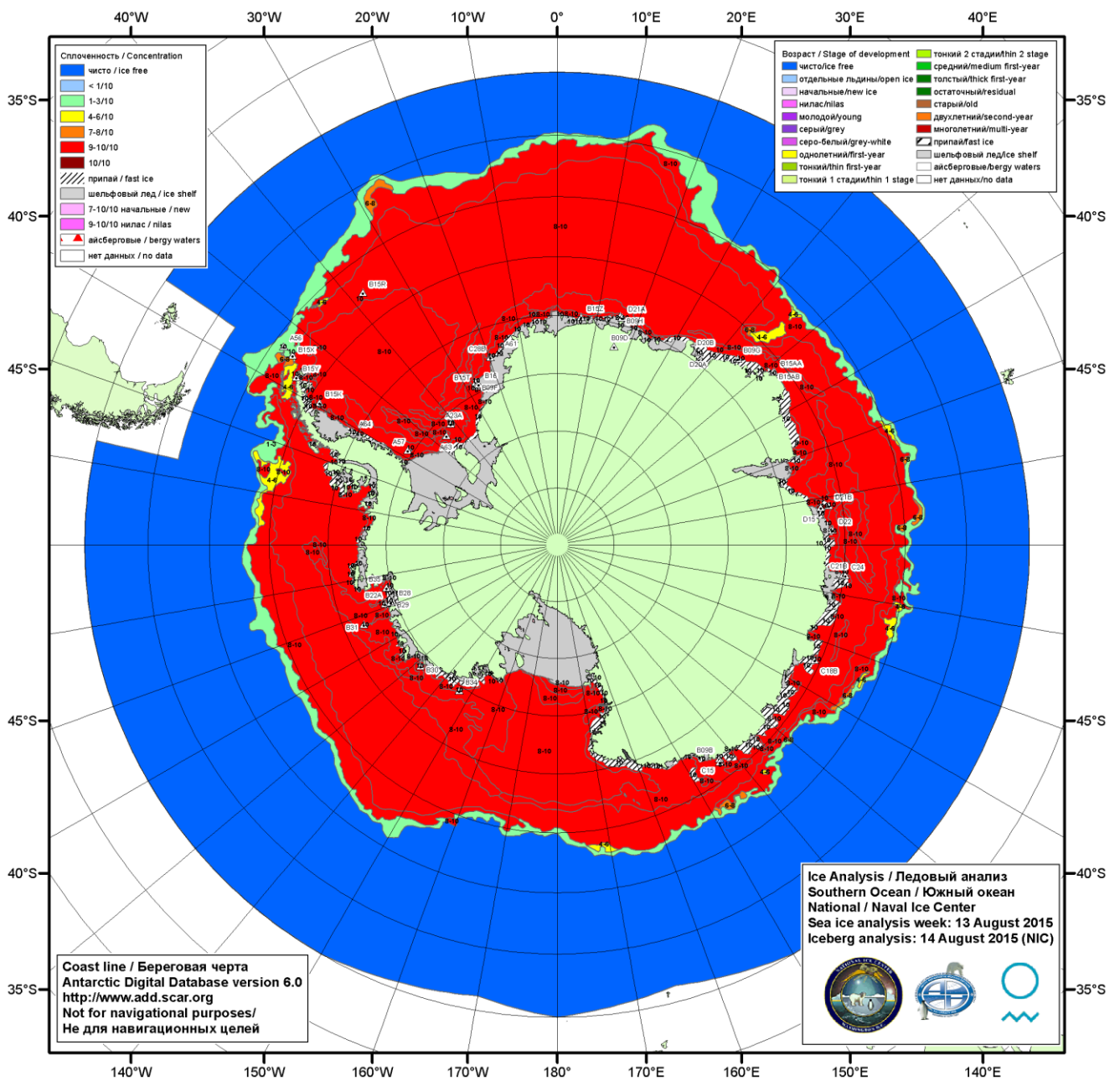


Рисунок 7а – Ледовая карта ААНИИ (цветовая окраска по общей сплоченности) и расположение крупных айсбергов Южного океана (ААНИИ) за 13.08.2015.

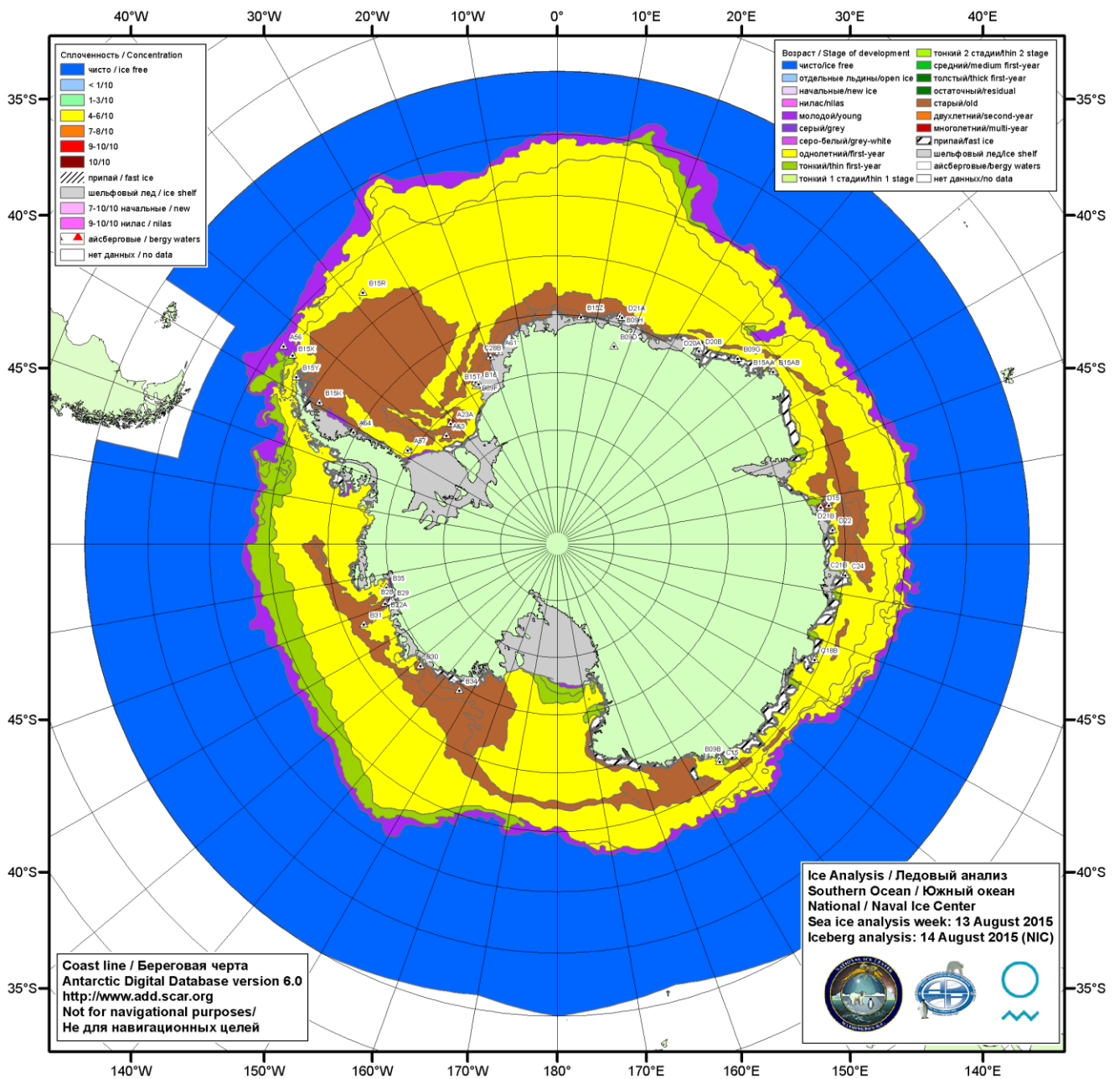


Рисунок 7б – Ледовая карта ААНИИ (цветовая окраска по возрасту) и расположение крупных айсбергов Южного океана (ААНИИ) за 13.08.2015.

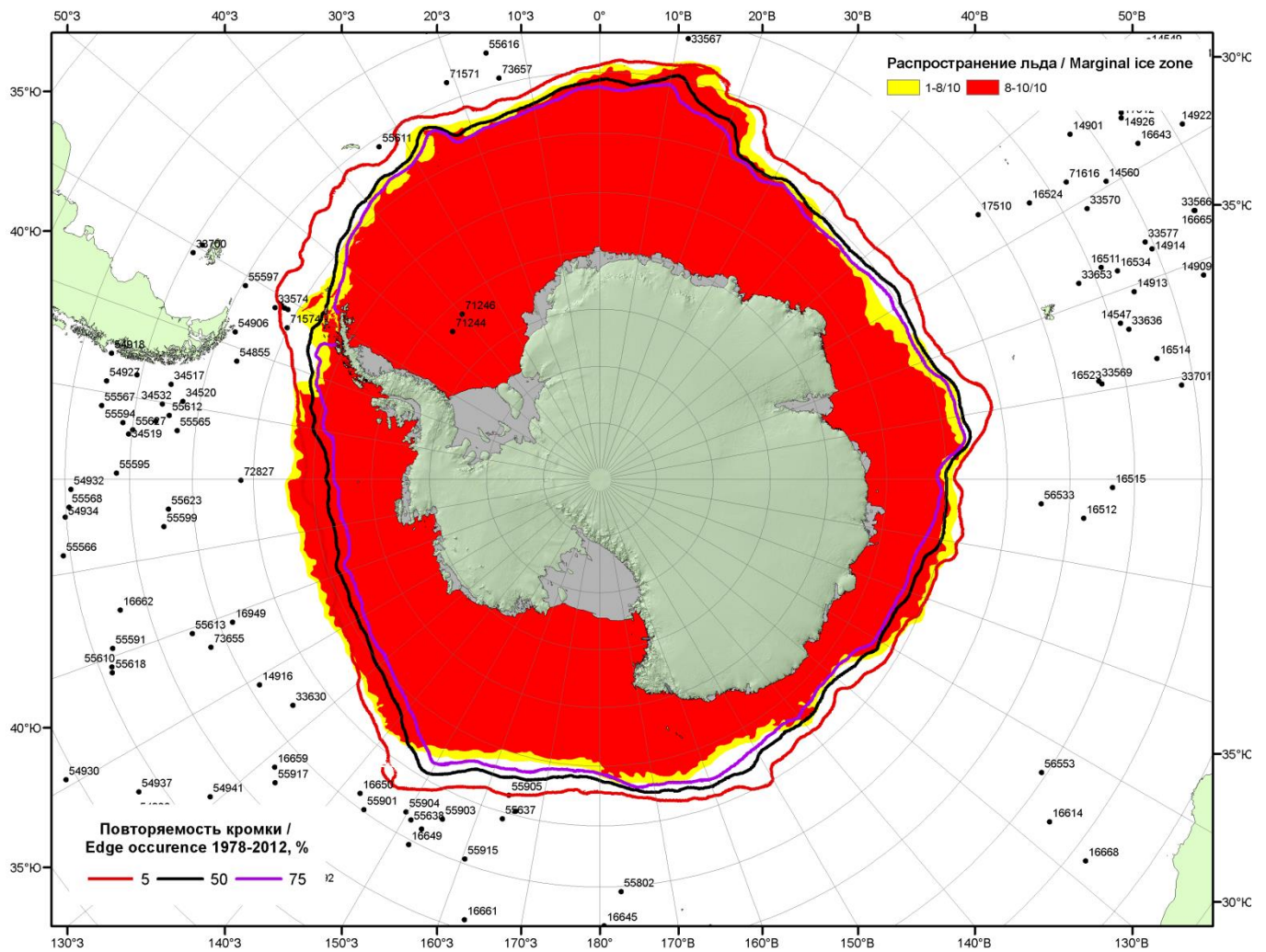
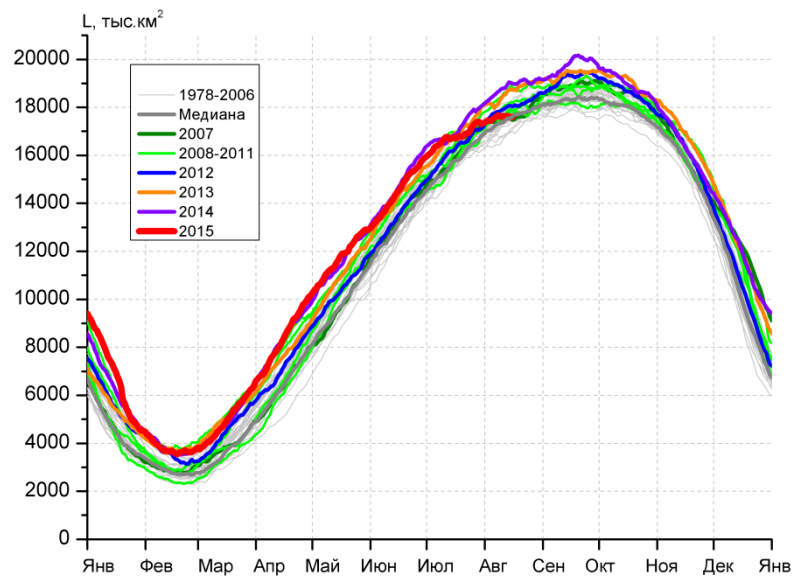
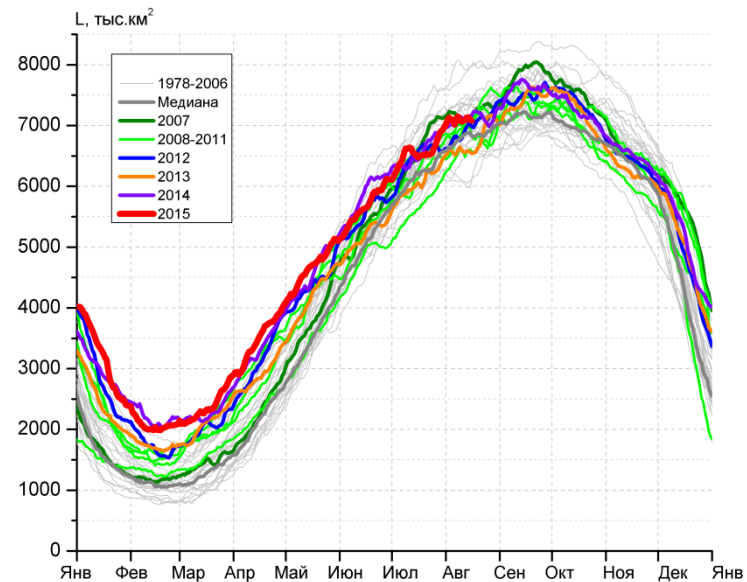


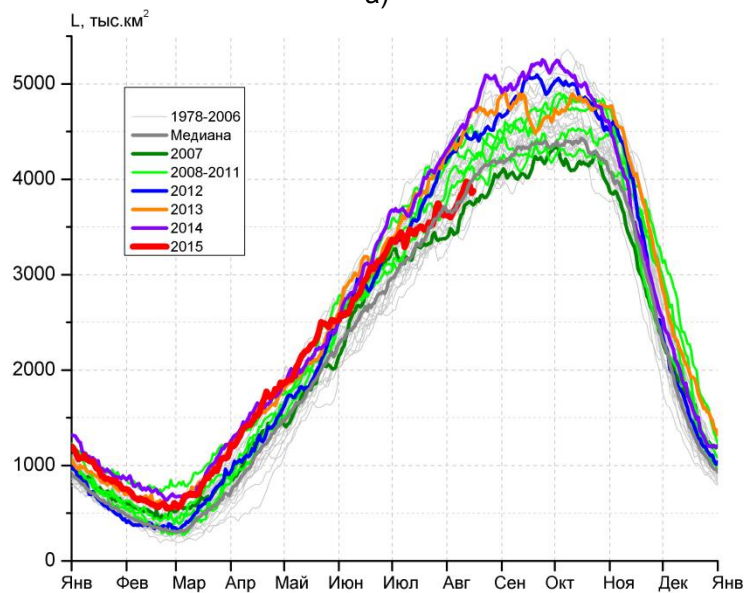
Рисунок 7в – Положение кромки льда и зон разреженных (<8/10) и сплоченных ( $\geq$ 8/10) льдов Южного океана за 17.08.2015 г. на основе ледового анализа Национального Ледового Центра США, положение метеорологической дрейфующих буев IABP и Argos на 18.08.2015T1200+00 и повторяемость кромки за 16-20.08 за период 1979-2014 гг. по наблюдениям SSMR-SSM/I-SSMIS (алгоритм NASATEAM)



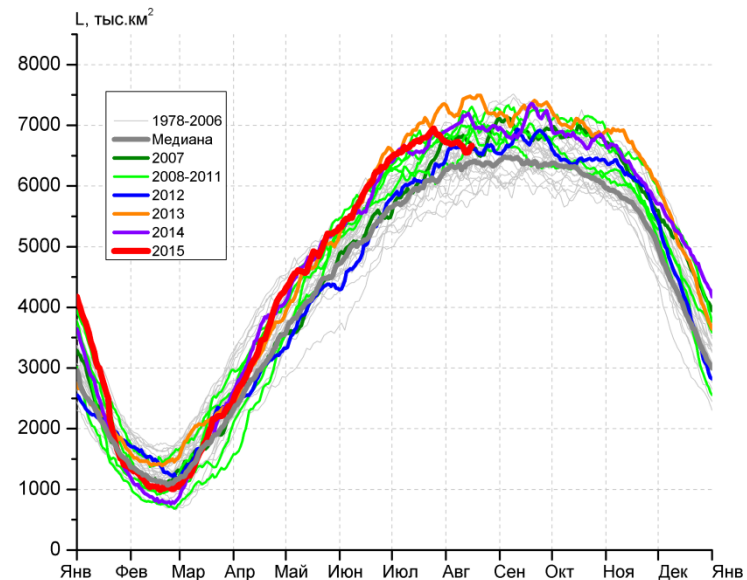
а)



б)



в)



г)

Рисунок 8 – Ежедневные оценки сезонного хода ледовитости Южного Океана и меридиональных секторов за период 26.10.1978 – 16.08.2015 по годам на основе расчетов по данным SSMR-SSM/I-SSMIS-AMSR2, алгоритм NASATEAM/BOOTSTRAP: а) Южный Океан, б) Атлантический сектор (60°W-30°E, море Уэдделла), в) Индоокеанский сектор (30°E-150°E, моря Космонавтов, Содружества, Моусона), г) Тихоокеанский сектор (150°E-60°W, моря Росса, Беллингаузена)



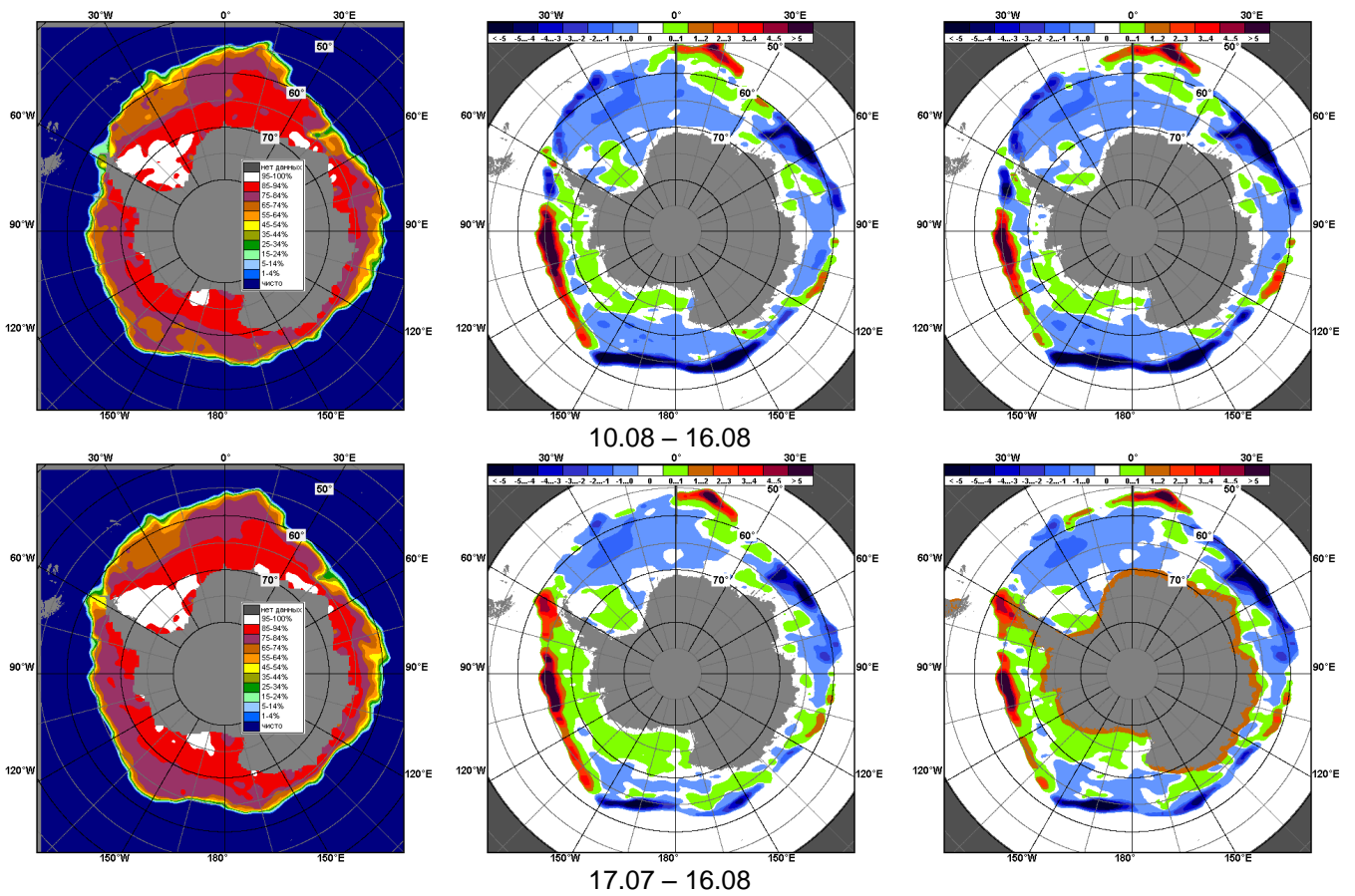


Рисунок 9 – Медианные распределения общей сплоченности льда за текущие 7 и 30-дневные промежутки (слева) и её разности относительно медианного распределения за тот же месяц за периоды 1978-2015 (центр) и 2005-2015 гг. (справа) на основе расчетов по данным SSMR-SSM/I-SSMIS-AMSR2, алгоритм NASATEAM/BOOTSTRAP

Таблица 4 – Динамика изменения значений ледовитости по сравнению с предыдущей неделей для морей Южного океана за 10 – 16 августа 2015 г. по данным наблюдений SSMR-SSM/I-SSMIS

Регион	Южный Океан	Атлантический сектор (60°W-30°E, море Уэдделла)	Индоокеанский сектор (30°E-150°E, моря Космонавтов, Содружества, Моусона)	Тихоокеанский сектор (150°E-60°W, моря Росса, Беллинсгаузена)
Разность	69.1	-1.4	201.5	-98.2
тыс.кв.км/сут.	9.9	-0.2	28.8	-14.0

Таблица 5 - Медианные значения ледовитости для Южного океана и 3 меридиональных секторов за текущие 30 и 7-дневные интервалы и её аномалии от 2010-2014 гг. и интервалов 2005-2015 гг. и 1978-2015 гг. по данным наблюдений SSMR-SSM/I-SSMIS-AMSR2, алгоритм NASATEAM/BOOTSTRAP

Южный Океан

Месяц	S, тыс. км <sup>2</sup>	Аномалии, тыс км <sup>2</sup> /%						
		2010 г	2011 г	2012 г	2013 г	2014 г	2005-2015гг	1978-2015гг
17.07-16.08	17318.3	-581.5	265.3	18.0	-563.0	-824.2	-93.6	239.9
		-3.2	1.6	0.1	-3.1	-4.5	-0.5	1.4
10-16.08	17617.1	-1136.7	-76.2	-378.0	-1000.7	-1295.4	-455.3	-112.6
		-6.1	-0.4	-2.1	-5.4	-6.8	-2.5	-0.6

Атлантический сектор (60°W-30°E, море Уэдделла)

Месяц	S, тыс. км <sup>2</sup>	Аномалии, тыс км <sup>2</sup> /%						
		2010 г	2011 г	2012 г	2013 г	2014 г	2005-2015гг	1978-2015гг
17.07-16.08	6880.4	97.6	689.4	151.8	475.6	-45.5	141.8	111.3
		1.4	11.1	2.3	7.4	-0.7	2.1	1.6
10-16.08	7096.1	74.7	526.7	160.9	525.1	-41.2	131.4	81.6
		1.1	8.0	2.3	8.0	-0.6	1.9	1.2

Индоокеанский сектор (30°E-150°E, моря Космонавтов, Содружества, Моусона)

Месяц	S, тыс. км <sup>2</sup>	Аномалии, тыс км <sup>2</sup> /%						
		2010 г	2011 г	2012 г	2013 г	2014 г	2005-2015гг	1978-2015гг
17.07-16.08	3688.7	-544.0	-421.6	-468.0	-558.5	-624.2	-344.9	-197.7
		-12.9	-10.3	-11.3	-13.2	-14.5	-8.6	-5.1
10-16.08	3912.2	-566.3	-354.9	-534.1	-698.1	-728.5	-369.2	-224.9
		-12.6	-8.3	-12.0	-15.1	-15.7	-8.6	-5.4

Тихоокеанский сектор (150°E-60°W, моря Росса, Беллинсгаузена)

Месяц	S, тыс. км <sup>2</sup>	Аномалии, тыс км <sup>2</sup> /%						
		2010 г	2011 г	2012 г	2013 г	2014 г	2005-2015гг	1978-2015гг
17.07-16.08	6742.8	-141.6	-8.5	327.8	-486.5	-160.8	103.7	320.1
		-2.1	-0.1	5.1	-6.7	-2.3	1.6	5.0
10-16.08	6608.8	-645.1	-243.3	-4.8	-827.7	-525.7	-217.1	30.8
		-8.9	-3.6	-0.1	-11.1	-7.4	-3.2	0.5

Таблица 6 – Экстремальные и средние значения ледовитости для Южного океана и 3 меридиональных секторов за текущий 7-дневный интервал по данным наблюдений SSMR-SSM/I-SSMIS-AMSR2, алгоритм NASATEAM/BOOTSTRAP

Южный Океан

Месяц	Минимальное знач.	Максимальное знач.	Среднее знач.	Медиана
10-16.08	16559.7 10.08.1986	19052.9 14.08.2014	17729.7	17689.2

Атлантический сектор (60°W-30°E, море Уэдделла)

Месяц	Минимальное знач.	Максимальное знач.	Среднее знач.	Медиана
10-16.08	5980.2 15.08.1986	8011.8 10.08.1992	7014.5	7033.1

Индоокеанский сектор (30°E-150°E, моря Космонавтов, Содружества, Моусона)

Месяц	Минимальное знач.	Максимальное знач.	Среднее знач.	Медиана
10-16.08	3365.9 10.08.1979	4735.6 16.08.2013	4137.2	4140.1

Тихоокеанский сектор (150°E-60°W, моря Росса, Беллинсгаузена)

Месяц	Минимальное знач.	Максимальное знач.	Среднее знач.	Медиана
10-16.08	5643.3 13.08.1993	7477.1 15.08.2013	6578.0	6568.4

**Приложение 1 – Статистические значения ледовитостей по отдельным акваториям Северной Полярной Области и Южного океана**

Таблица 7 – Средние, аномалии среднего и экстремальные значения ледовитостей для Северной полярной области и её отдельных акваторий за текущие 7-дневный (неделя) и 30-дневный промежутки времени по данным наблюдений SSMR-SSM/I-SSMIS-AMSR2, алгоритм NASATEAM/BOOTSTRAP за период 1978-2015 гг.

10-16.08

Регион	S, тыс. км <sup>2</sup>	Аномалии, тыс км <sup>2</sup> /%							1978-2015гг			
		2010 г	2011 г	2012 г	2013 г	2014 г	2005-2015гг	1978-2015гг	Минимум дата	Максимум дата	Среднее	Медиана
Сев. полярная область	5849.3	-193.5	156.7	815.1	-321.6	-419.2	-160.1	-1331.2	4826.6	8577.9	7180.5	7449.8
		-3.2	2.8	16.2	-5.2	-6.7	-2.7	-18.5	16.08.2012	10.08.1983		
<b>Сектор 45°W-95°E</b>	1260.4	5.4	-162.8	-46.3	109.8	-293.2	-123.8	-423.4	1095.8	2242.0	1683.8	1670.2
		0.4	-11.4	-3.5	9.5	-18.9	-8.9	-25.1	16.08.2013	10.08.1981		
Гренландское море	267.9	51.1	-125.5	-76.3	61.2	12.0	-26.3	-66.4	107.3	522.5	334.4	330.0
		23.6	-31.9	-22.2	29.6	4.7	-8.9	-19.9	15.08.2002	15.08.1992		
Баренцево море	8.9	1.5	-15.5	1.2	-3.1	-112.7	-26.4	-79.3	1.9	287.0	88.2	81.5
		21.0	-63.5	15.8	-25.7	-92.7	-74.8	-89.9	11.08.2013	10.08.1982		
Карское море	46.2	13.6	-2.4	24.5	-82.2	-97.0	-52.5	-237.2	14.5	597.6	283.5	255.2
		41.5	-4.9	113.1	-64.0	-67.7	-53.2	-83.7	16.08.2012	10.08.1999		
<b>Сектор 95°E-170°W</b>	1795.5	-365.9	-5.0	173.9	-351.3	44.5	-114.9	-590.1	1212.4	3095.0	2385.7	2460.6
		-16.9	-0.3	10.7	-16.4	2.5	-6.0	-24.7	16.08.2007	11.08.1996		
Море Лаптевых	198.1	-56.4	157.9	80.8	-11.1	175.3	12.9	-116.9	9.6	611.8	315.0	321.9
		-22.1	392.1	68.8	-5.3	769.5	7.0	-37.1	15.08.2014	13.08.1996		
Восточно-Сибирское море	204.0	-247.2	-247.8	7.1	-249.2	-217.2	-138.8	-342.3	6.9	910.7	546.3	531.4
		-54.8	-54.8	3.6	-55.0	-51.6	-40.5	-62.7	16.08.2007	11.08.1996		
Чукотское море	20.1	-80.8	3.3	-159.3	-57.3	-80.3	-58.4	-154.8	3.1	383.7	175.0	183.0
		-80.1	19.5	-88.8	-74.0	-79.9	-74.3	-88.5	10.08.2007	10.08.1988		
Берингово море	6.6	6.6	6.4	6.4	6.6	6.2	5.9	6.4	0.0	10.1	0.2	0.0
		-	3733.3	3733.3	-	1816.7	896.1	3250.4	10.08.1979	12.08.2015		
<b>Сектор 170°W-45°W</b>	2793.3	167.0	324.5	687.4	-80.1	-170.5	78.6	-317.7	2001.2	3837.4	3111.0	3144.7
		6.4	13.1	32.6	-2.8	-5.8	2.9	-10.2	15.08.2012	10.08.1992		
Море Бофорта	207.3	13.3	55.1	160.0	-1.2	-9.3	6.4	-74.1	27.5	465.4	281.4	278.2
		6.9	36.2	338.4	-0.6	-4.3	3.2	-26.3	10.08.2008	11.08.1991		
Гудзонов залив	31.5	11.4	0.1	3.2	-4.2	-3.3	2.6	-9.3	4.8	178.4	40.8	34.6
		56.5	0.5	11.3	-11.9	-9.4	8.9	-22.9	10.08.1995	11.08.1992		
Море Лабрадор	6.3	3.6	6.3	6.3	6.3	6.3	4.1	2.1	0.0	42.0	4.2	3.0
		132.1	-	-	-	-	180.4	48.9	10.08.2000	15.08.1994		
Дейвисов пролив	77.0	65.0	57.6	55.4	57.0	54.7	50.7	28.1	6.6	206.1	48.8	33.7
		544.4	297.9	257.2	285.9	245.3	193.4	57.6	12.08.2013	10.08.1983		
Канадский архипелаг	571.1	121.3	192.1	157.8	-33.1	-96.2	34.2	-75.0	330.2	889.1	646.0	654.7
		27.0	50.7	38.2	-5.5	-14.4	6.4	-11.6	15.08.2011	15.08.1992		

17.07-16.08

Регион	S, тыс. км <sup>2</sup>	Аномалии, тыс км <sup>2</sup> /%							1978-2015гг			
		2010 г	2011 г	2012 г	2013 г	2014 г	2005- 2015гг	1978- 2015гг	Минимум дата	Максимум дата	Среднее	Медиана
Сев. полярная область	6836.7	-14.2	275.7	489.4	-106.0	-214.1	-83.6	-1220.7	4826.6	10655.8	8057.3	8078.8
		-0.2	4.2	7.7	-1.5	-3.0	-1.2	-15.1	16.08.2012	17.07.1983		
<b>Сектор 45°W- 95°E</b>	1472.6	36.2	-176.7	46.0	190.8	-234.7	-75.2	-441.2	1095.8	3012.9	1913.8	1902.4
		2.5	-10.7	3.2	14.9	-13.7	-4.9	-23.1	16.08.2013	17.07.1981		
Гренландское море	369.9	65.1	-94.5	-30.0	128.9	62.0	15.0	-31.7	101.3	734.9	401.6	407.4
		21.4	-20.3	-7.5	53.5	20.1	4.2	-7.9	08.08.2002	17.07.1981		
Баренцево море	50.6	37.7	4.3	36.1	40.0	-49.0	2.4	-87.3	1.9	531.1	137.9	114.8
		294.6	9.4	248.5	380.1	-49.2	4.9	-63.3	11.08.2013	17.07.1982		
Карское море	95.3	-21.0	-19.8	49.1	-93.1	-168.0	-76.5	-293.2	14.5	836.7	388.6	405.2
		-18.1	-17.2	106.2	-49.4	-63.8	-44.5	-75.5	16.08.2012	17.07.1981		
<b>Сектор 95°E- 170°W</b>	2069.8	-337.5	-9.7	-105.0	-385.2	-89.2	-210.4	-594.0	1212.4	3298.9	2663.8	2741.2
		-14.0	-0.5	-4.8	-15.7	-4.1	-9.2	-22.3	16.08.2007	17.07.1987		
Море Лаптевых	272.4	-33.1	164.4	115.0	-1.6	181.6	14.1	-132.0	9.6	667.9	404.4	414.5
		-10.8	152.2	73.1	-0.6	200.0	5.5	-32.6	15.08.2014	17.07.2004		
Восточно- Сибирское море	349.7	-221.7	-168.9	-117.1	-288.1	-251.4	-170.6	-318.7	6.9	915.1	668.3	738.7
		-38.8	-32.6	-25.1	-45.2	-41.8	-32.8	-47.7	16.08.2007	17.07.1988		
Чукотское море	48.9	-152.6	-38.5	-236.7	-82.3	-143.1	-105.6	-196.4	0.6	489.9	245.3	261.3
		-75.7	-44.0	-82.9	-62.7	-74.5	-68.3	-80.1	09.08.2007	17.07.1983		
Берингово море	7.3	6.0	5.4	5.1	5.5	5.3	5.0	4.4	0.0	18.0	2.9	1.2
		462.4	292.5	239.5	311.1	269.4	213.7	148.4	20.07.2008	20.07.2015		
<b>Сектор 170°W- 45°W</b>	3294.4	287.2	462.3	548.6	88.6	110.0	202.2	-185.3	2001.2	4929.0	3479.7	3458.6
		9.6	16.3	20.0	2.8	3.5	6.5	-5.3	15.08.2012	17.07.1983		
Море Бофорта	291.2	63.0	122.2	187.9	-12.7	55.7	49.1	-26.3	16.0	486.6	317.5	340.8
		27.6	72.3	181.7	-4.2	23.7	20.3	-8.3	08.08.2008	17.07.2000		
Гудзонов залив	69.7	47.2	37.5	34.2	32.1	30.7	26.4	-4.9	4.8	585.7	74.6	44.9
		210.4	116.5	96.5	85.5	78.8	61.1	-6.5	10.08.1995	17.07.1992		
Море Лабрадор	13.0	9.9	9.9	9.0	9.1	9.0	8.5	6.8	0.0	76.0	6.2	4.4
		311.1	315.3	224.6	233.4	221.0	189.1	109.1	21.07.2005	20.07.1991		
Дейвисов пролив	136.1	110.9	114.3	97.1	90.0	107.7	85.4	39.5	6.1	313.9	96.6	78.6
		440.4	523.6	248.7	195.2	379.0	168.1	40.9	09.08.2010	17.07.1992		
Канадский архипелаг	724.0	99.9	123.7	127.2	-1.5	-35.3	36.5	-51.9	330.2	1128.0	775.9	778.6
		16.0	20.6	21.3	-0.2	-4.6	5.3	-6.7	15.08.2011	17.07.1983		

Таблица 8 – Средние, аномалии среднего и экстремальные значения ледовитостей для Южного океана и его отдельных акваторий за текущие 7-дневный (неделя) и 30-дневный промежутки времени по данным наблюдений SSMR-SSM/I-SSMIS-AMSR2, алгоритм NASATEAM/BOOTSTRAP за период 1978-10-16.08

Регион	S, тыс. км <sup>2</sup>	Аномалии, тыс км <sup>2</sup> /%							1978-2015гг			
		2010 г	2011 г	2012 г	2013 г	2014 г	2005-2015гг	1978-2015гг	Минимум дата	Максимум дата	Среднее	Медиана
Южный Океан	17617.1	-1136.7	-76.2	-378.0	-1000.7	-1295.4	-455.3	-112.6	16559.7	19052.9	17729.7	17689.2
		-6.1	-0.4	-2.1	-5.4	-6.8	-2.5	-0.6	10.08.1986	14.08.2014		
<b>Атлантический сектор</b>	7096.1	74.7	526.7	160.9	525.1	-41.2	131.4	81.6	5980.2	8011.8	7014.5	7033.1
		1.1	8.0	2.3	8.0	-0.6	1.9	1.2	15.08.1986	10.08.1992		
Западная часть моря Уэдделла	2337.9	-70.1	-333.4	-63.6	-121.2	-57.8	-134.1	-151.0	2067.9	3208.3	2488.8	2445.1
		-2.9	-12.5	-2.6	-4.9	-2.4	-5.4	-6.1	13.08.1983	16.08.1980		
Восточная часть моря Уэдделла	4758.2	144.9	860.1	224.5	646.2	16.7	265.5	232.6	3380.3	5269.3	4525.6	4582.4
		3.1	22.1	5.0	15.7	0.4	5.9	5.1	15.08.1986	16.08.1992		
<b>Индоокеанский сектор</b>	3912.2	-566.3	-354.9	-534.1	-698.1	-728.5	-369.2	-224.9	3365.9	4735.6	4137.2	4140.1
		-12.6	-8.3	-12.0	-15.1	-15.7	-8.6	-5.4	10.08.1979	16.08.2013		
Море Космонавтов	963.8	-456.3	-118.9	-176.5	-206.6	-340.4	-165.9	-85.3	754.3	1455.1	1049.2	1053.9
		-32.1	-11.0	-15.5	-17.6	-26.1	-14.7	-8.1	10.08.1981	14.08.2010		
Море Содружества	1266.9	-248.5	-242.9	-196.0	-225.4	-220.2	-211.5	-154.2	944.6	1781.7	1421.1	1415.1
		-16.4	-16.1	-13.4	-15.1	-14.8	-14.3	-10.9	10.08.1979	10.08.2006		
Море Моусона	1681.5	138.4	6.9	-161.6	-266.2	-167.9	8.2	14.6	1235.5	2138.9	1666.9	1653.9
		9.0	0.4	-8.8	-13.7	-9.1	0.5	0.9	15.08.2002	14.08.1982		
<b>Тихоокеанский сектор</b>	6608.8	-645.1	-243.3	-4.8	-827.7	-525.7	-217.1	30.8	5643.3	7477.1	6578.0	6568.4
		-8.9	-3.6	-0.1	-11.1	-7.4	-3.2	0.5	13.08.1993	15.08.2013		
Море Росса	5255.5	-757.2	-267.3	-214.0	-805.8	-546.7	-359.2	-190.4	4326.4	6094.6	5445.9	5467.0
		-12.6	-4.8	-3.9	-13.3	-9.4	-6.4	-3.5	10.08.1980	11.08.2013		
Море Беллинсгаузена	1353.3	112.1	22.5	209.2	-21.9	21.1	142.0	221.2	563.5	1648.9	1132.1	1129.8
		9.0	1.7	18.3	-1.6	1.6	11.7	19.5	10.08.1998	10.08.1995		

17.07-16.08

Регион	S, тыс. км <sup>2</sup>	Аномалии, тыс км <sup>2</sup> /%							1978-2015гг			
		2010 г	2011 г	2012 г	2013 г	2014 г	2005- 2015гг	1978- 2015гг	Минимум дата	Максимум дата	Среднее	Медиана
Южный Океан	17318.3	-581.5	265.3	18.0	-563.0	-824.2	-93.6	239.9	15514.2	19052.9	17078.4	17101.3
		-3.2	1.6	0.1	-3.1	-4.5	-0.5	1.4	17.07.1983	14.08.2014		
<b>Атлантический сектор</b>	6880.4	97.6	689.4	151.8	475.6	-45.5	141.8	111.3	5641.5	8079.9	6769.1	6760.8
		1.4	11.1	2.3	7.4	-0.7	2.1	1.6	17.07.2011	08.08.1992		
Западная часть моря Уэдделла	2434.8	106.3	-70.4	89.6	5.8	90.9	-15.6	-38.1	2067.9	3208.3	2472.9	2430.9
		4.6	-2.8	3.8	0.2	3.9	-0.6	-1.5	13.08.1983	16.08.1980		
Восточная часть моря Уэдделла	4445.6	-8.7	759.8	62.3	469.8	-136.5	157.3	149.4	3348.4	5270.5	4296.2	4322.5
		-0.2	20.6	1.4	11.8	-3.0	3.7	3.5	17.07.2011	09.08.1992		
<b>Индоокеанский сектор</b>	3688.7	-544.0	-421.6	-468.0	-558.5	-624.2	-344.9	-197.7	3051.1	4735.6	3886.4	3877.4
		-12.9	-10.3	-11.3	-13.2	-14.5	-8.6	-5.1	17.07.2002	16.08.2013		
Море Космонавтов	870.4	-460.1	-162.7	-200.1	-216.1	-297.8	-180.3	-86.3	566.2	1455.1	956.6	940.8
		-34.6	-15.7	-18.7	-19.9	-25.5	-17.2	-9.0	07.08.1981	14.08.2010		
Море Содружества	1225.3	-235.5	-116.2	-82.7	-159.8	-163.3	-154.7	-122.2	930.0	1783.5	1347.5	1339.9
		-16.1	-8.7	-6.3	-11.5	-11.8	-11.2	-9.1	08.08.1979	09.08.2006		
Море Моусона	1595.3	154.1	-140.3	-182.9	-180.2	-160.7	-7.8	13.1	1081.3	2138.9	1582.3	1577.0
		10.7	-8.1	-10.3	-10.1	-9.2	-0.5	0.8	17.07.2002	14.08.1982		
<b>Тихоокеанский сектор</b>	6742.8	-141.6	-8.5	327.8	-486.5	-160.8	103.7	320.1	5420.3	7477.1	6422.7	6431.5
		-2.1	-0.1	5.1	-6.7	-2.3	1.6	5.0	18.07.1992	15.08.2013		
Море Росса	5336.3	-412.7	-26.0	-13.2	-609.0	-349.0	-149.8	18.8	3986.2	6094.6	5317.5	5347.9
		-7.2	-0.5	-0.2	-10.2	-6.1	-2.7	0.4	01.08.1980	11.08.2013		
Море Беллинсгаузена	1408.9	273.5	19.8	343.4	124.8	190.5	255.7	303.7	405.1	1662.0	1105.2	1101.9
		24.1	1.4	32.2	9.7	15.6	22.2	27.5	21.07.2000	03.08.1995		

Таблица 9 – Динамика изменения значений ледовитости по сравнению с предыдущей неделей для морей Северной полярной области и Южного океана за текущий 7-дневный (неделя) промежуток времени по данным наблюдений SSMIS-AMSR2

10-16.08				
Регион	Сев. полярная область	Сектор 45°W-95°E	Гренландское море	Баренцево море
Разность	-536.5	-103.9	-80.3	-18.3
тыс.кв.км/сут.	-76.6	-14.8	-11.5	-2.6
10-16.08				
Регион	Карское море	Сектор 95°E-170°W	Море Лаптевых	Восточно-Сибирское море
Разность	-14.3	-109.0	-3.8	-50.5
тыс.кв.км/сут.	-2.0	-15.6	-0.5	-7.2
10-16.08				
Регион	Чукотское море	Берингово море	Сектор 170°W-45°W	Море Бофорта
Разность	-23.7	2.3	-324.4	-71.4
тыс.кв.км/сут.	-3.4	0.3	-46.3	-10.2
10-16.08				
Регион	Гудзонов залив	Море Лабрадор	Дейвисов пролив	Канадский архипелаг
Разность	-9.3	-0.2	-36.3	-80.1
тыс.кв.км/сут.	-1.3	0.0	-5.2	-11.4
10-16.08				
Регион	Южный Океан	Атлантический сектор	Западная часть моря Уэдделла	Восточная часть моря Уэдделла
Разность	69.1	-1.4	-134.4	133.0
тыс.кв.км/сут.	9.9	-0.2	-19.2	19.0
10-16.08				
Регион	Индоокеанский сектор	Море Космонавтов	Море Содружества	Море Моусона
Разность	201.5	105.5	55.9	29.3
тыс.кв.км/сут.	28.8	15.1	8.0	4.2
10-16.08				
Регион	Тихоокеанский сектор	Море Росса	Море Беллинсгаузена	
Разность	-98.2	-73.8	-27.8	
тыс.кв.км/сут.	-14.0	-10.5	-4.0	

## Характеристика исходного материала и методика расчетов

Для иллюстрации ледовых условий Арктического региона представлены совмещенные региональные карты ААНИИ, ГМЦ России, ледовой службы Германии (BSH), Канадской ледовой службы – КЛС и Национального ледового центра США – НЛЦ. Совмещение карт выполнено путем перекрытия слоев (ААНИИ, слой #1), (региональная карта НЛЦ, слой #1), (ГМЦ России, слой #1), (BSH, слой #1) -> (КЛС, слой #2) -> (обзорная карта НЛЦ, слой #3). Как результат, карты ААНИИ характеризуют ледовые условия морей Гренландского...Бофорта и Охотского, карты ГМЦ России – Азовского, Каспийского и Белого, карты НЛЦ – Берингова моря, карты BSH – Балтийского карты КЛС - морей Бофорта, Канадского архипелага, Баффина, Девисова пролива, Лабрадор, Св. Лаврентия, а НЛЦ - Арктического Бассейна, Линкольна, южной части Гренландского моря, а также в летний период – моря Бофорта, Чукотское и Берингово (при этом полный охват карт НЛЦ – вся акватория СЛО и субполярные моря). Для построения совмещенных карт используется архив данных в обменном формате ВМО СИГРИДЗ Мирового центра данных по морскому льду (МЦД МЛ). В пределах отдельного срока выборка карт из архива проводилась по критериям близости карт к сроку выпуска карты ААНИИ с максимальным интервалом времени между картами до 7 суток (день недели выпуска карт ААНИИ и ГМЦ России – каждая среда, BSH – каждый понедельник, КЛС – каждый вторник, НЛЦ – 1 раз в 2 недели по вторникам для циркумполярных карт и понедельник – четверг для региональных карт).

Для иллюстрации полей толщин льда СЛО использованы ежедневные данные по распределению средневзвешенной толщины льда численной модели ACNFS. Численная модель ACNFS имеет пространственное разрешение  $1/12^\circ$  и является совместной моделью морского льда – океана диагностики и краткосрочного прогнозирования состояния ледяного покрова всех акваторий Северного полушария севернее  $40^\circ$  с.ш. В модели ACNFS используется ледовый блок CICE (Hunke and Lipscomb, 2008), совмещенный с моделью океана HYCOM (Metzger et al., 2008, 2010). Атмосферный форсинг включает поля приземных метеопараметров и радиационного баланса поверхности. Исходная ледовая информация, используемая для расчетов по модели, включают данные альтиметра, ТПО, сплоченность, профиля температуры и солёности воды.

Для иллюстрации ледовых условий Южного океана, а также Северной Полярной области за последние сутки используются ежедневные циркумполярные ледовые информационные продукты НЛЦ США по оценке расположения кромки льда и ледяных массивов - MIZ (Marginal Ice Zone).

Для цветовой окраски карт использован стандарт ВМО (WMO/Td. 1215) для зимнего (по возрасту) и летнего (по общей сплоченности) периодов. Следует также отметить, что в зонах стыковки карт ААНИИ, ГМЦ России, КЛС и НЛЦ наблюдается определенная несогласованность границ и характеристик ледовых зон вследствие ряда различий в ледовых информационных системах подготавливающих служб (карты для Балтийского моря представлены только BSH или ААНИИ). Однако, данная несогласованность несущественна для целей интерпретации ледовых условий в рамках настоящего обзора.

Для получения оценок ледовитости (extent) и приведенной ледовитости – площади льда (area) отдельных секторов, морей, частей морей Северной полярной области и Южного океана и климатического положения кромок заданной повторяемости на основе данных спутниковых систем пассивного микроволнового зондирования SSMR-SSM/I-SSMIS-AMSR2 в МЦД МЛ ААНИИ принята следующая технология расчетов:

- источник данных – архивные (Cavalieri et al., 2008, Meier et al., 2006) и квазиоперативные (Maslanik and Stroeve, 1999) с задержкой 1-2 дня ежедневные матрицы (поля распределения) оценок общей сплоченности Северной (севернее  $45^\circ$  с.ш.) и Южной (южнее  $50^\circ$  с.ш.) Полярных областей на основе обработанных по алгоритму NASATEAM данных многоканальных микроволновых радиометров SSMR-SSM/I-SSMIS ИСЗ NIMBUS-7 и DMSP за период с 26.10.1978 г. по настоящий момент времени, копируемые с сервера НЦДСЛ;



- источник данных – ежедневные матрицы (поля распределения) оценок общей сплоченности Северной и Южной полярной областей на основе обработанных по алгоритму Bootstrap данных многоканального микроволнового радиометра AMSR2 ИСЗ GCOM-W1(SHIZUKU) за период с 01.07.2012 г. по настоящий момент времени, предоставленные Японским космическим агентством (provided by JAXA);
- область расчета – Северная и Южная Полярные области и их регионы с использованием масок океан/суша НЦДСЛ ([http://nsidc.org/data/polar\\_stereo/tools\\_masks.html](http://nsidc.org/data/polar_stereo/tools_masks.html));
- границы используемых масок расчета отдельных меридиональных секторов, морей, частей морей Северной полярной области и Южного океана представлены на рисунках П1 – П2, не совпадают с используемыми в НЦДСЛ масками для отдельных акваторий Мирового океана и основаны на номенклатуре ААНИИ для морей Евразийского шельфа (Гренландское - Чукотское), Атласе Северного ледовитого океана (1980) и Атласе океанов (1980) издательства ГУНИО МО.
- вычислительные особенности расчета – авторское программное обеспечение ААНИИ с сохранением точности расчетов и оценке статистических параметров по гистограмме распределения и свободно-распространяемое программное обеспечение GDAL для векторизации полей климатических параметров;

Исходная информация в формате ВМО СИГРИЗ доступна на сервере МЦД МЛ по адресам <http://wdc.aari.ru/datasets/d0004> (карты ААНИИ), <http://wdc.aari.ru/datasets/d0031> (карты КЛС), <http://wdc.aari.ru/datasets/d0032> (карты НЛЦ), ), <http://wdc.aari.ru/datasets/d0033> (карты ГМЦ России) и ), <http://wdc.aari.ru/datasets/d0035> (карты ВШ).

В графическом формате PNG совмещенные карты ААНИИ-КЛС-НЛЦ доступны по адресу <http://wdc.aari.ru/datasets/d0040>.

Результаты расчетов ледовитости Северной, Южной полярных областей, их отдельных меридиональных секторов, морей и частей морей доступны на сервере МЦД МЛ ААНИИ в каталогах соответственно <http://wdc.aari.ru/datasets/ssmi/data/north/extent/> и <http://wdc.aari.ru/datasets/ssmi/data/south/extent/>.

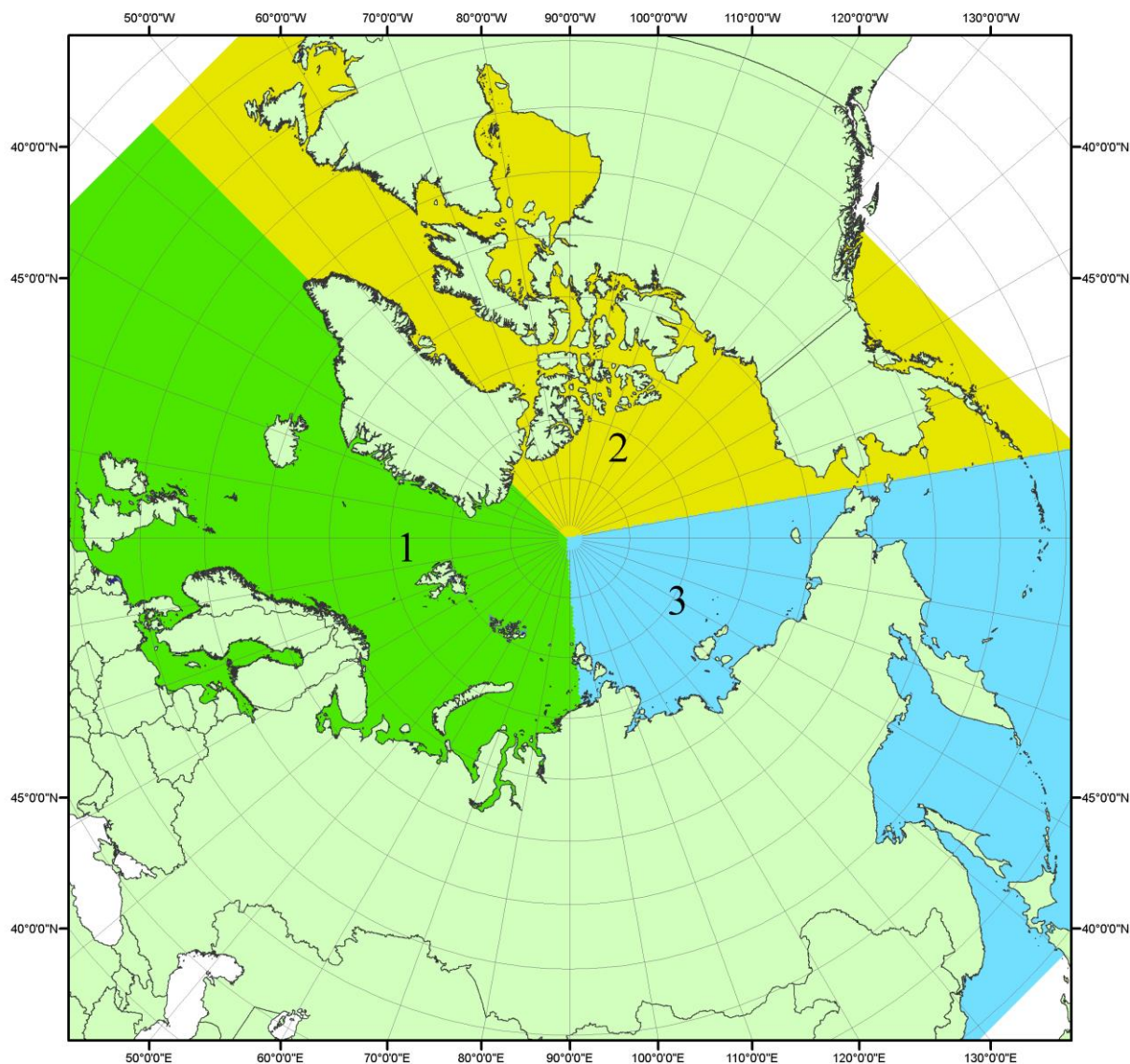


Рисунок П1 – Секторальное деление северной полярной области. 1 - Сектор 45°W-95°E (Гренландское - Карское моря); 2 - Сектор 170°W-45°W (море Бофорта и Канадская Арктика); 3 - Сектор 95°E-170°W (моря Лаптевых - Чукотское, Берингово, Охотское, Японское)

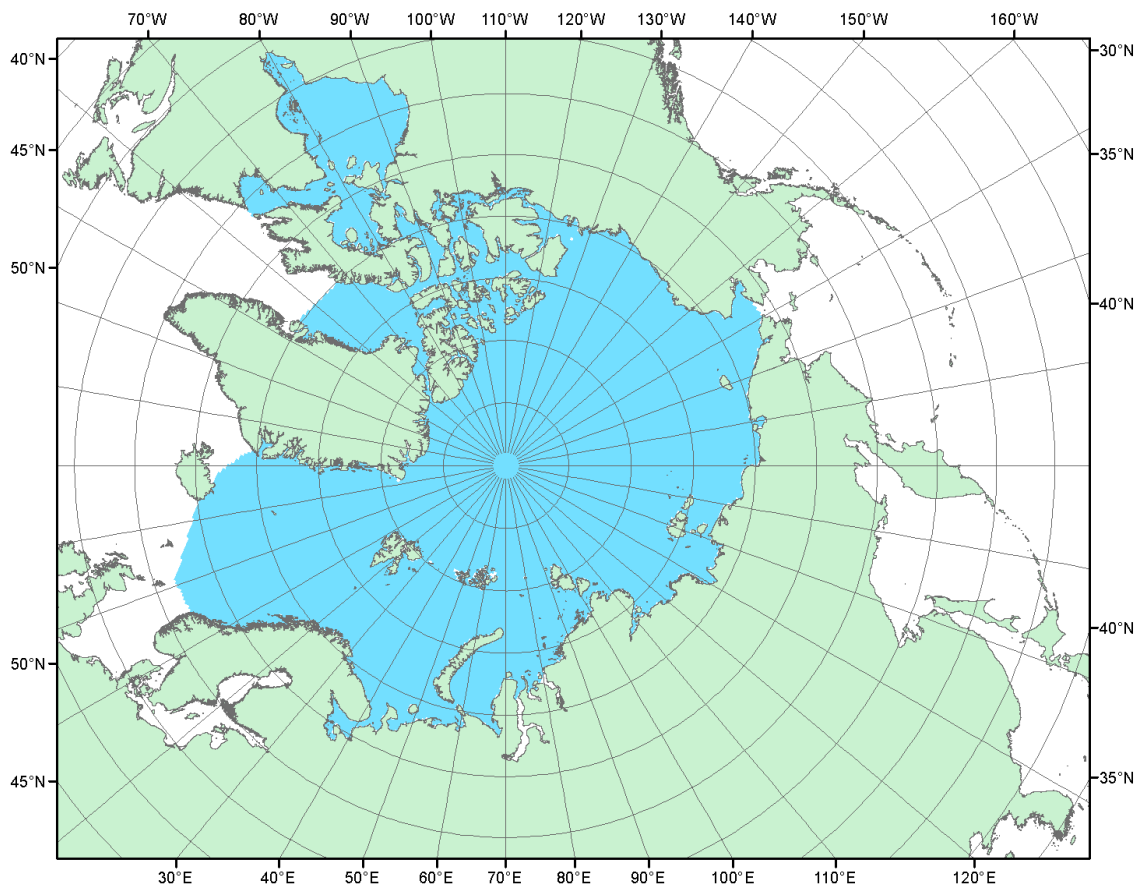


Рисунок П2 – Северный ледовитый океан в официальных границах

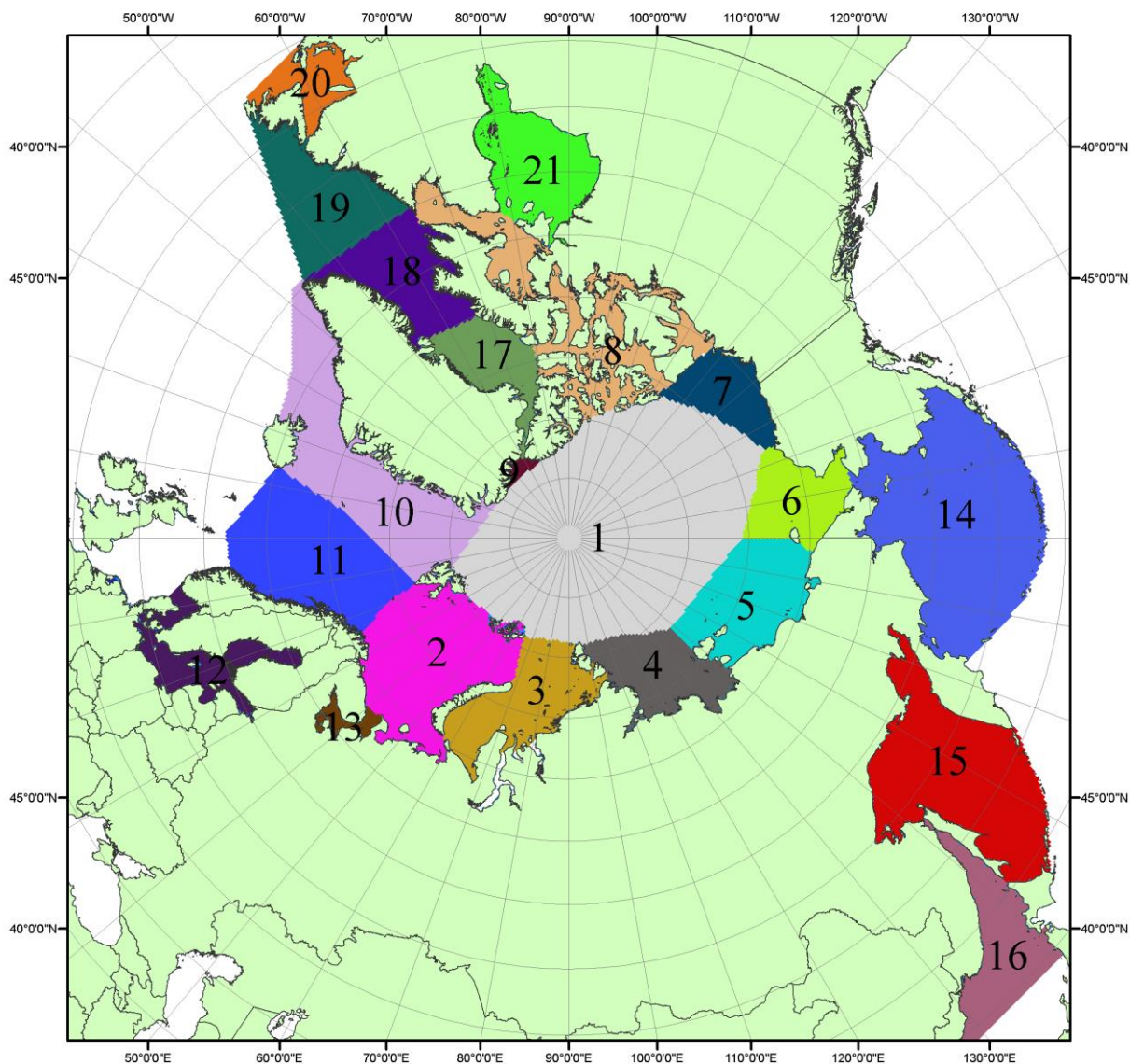


Рисунок ПЗ – моря северной полярной области. 1 – Арктический бассейн; 2- Баренцево море; 3 – Карское море; 4 – море Лаптевых; 5 - Восточно-Сибирское море; 6 – Чукотское море; 7 – море Бофорта; 8 – Канадский архипелаг; 9 – море Линкольна; 10 – Гренландское море; 11 – Норвежское море; 12 – Балтийское море; 13 – Белое море; 14 – Берингово море; 15 – Охотское море; 16 – Японское море; 17 – море Баффина; 18 – Дейвисов пролив; 19 – море Лабрадор; 20 – залив Святого Лаврентия; 21 – Гудзонов залив.

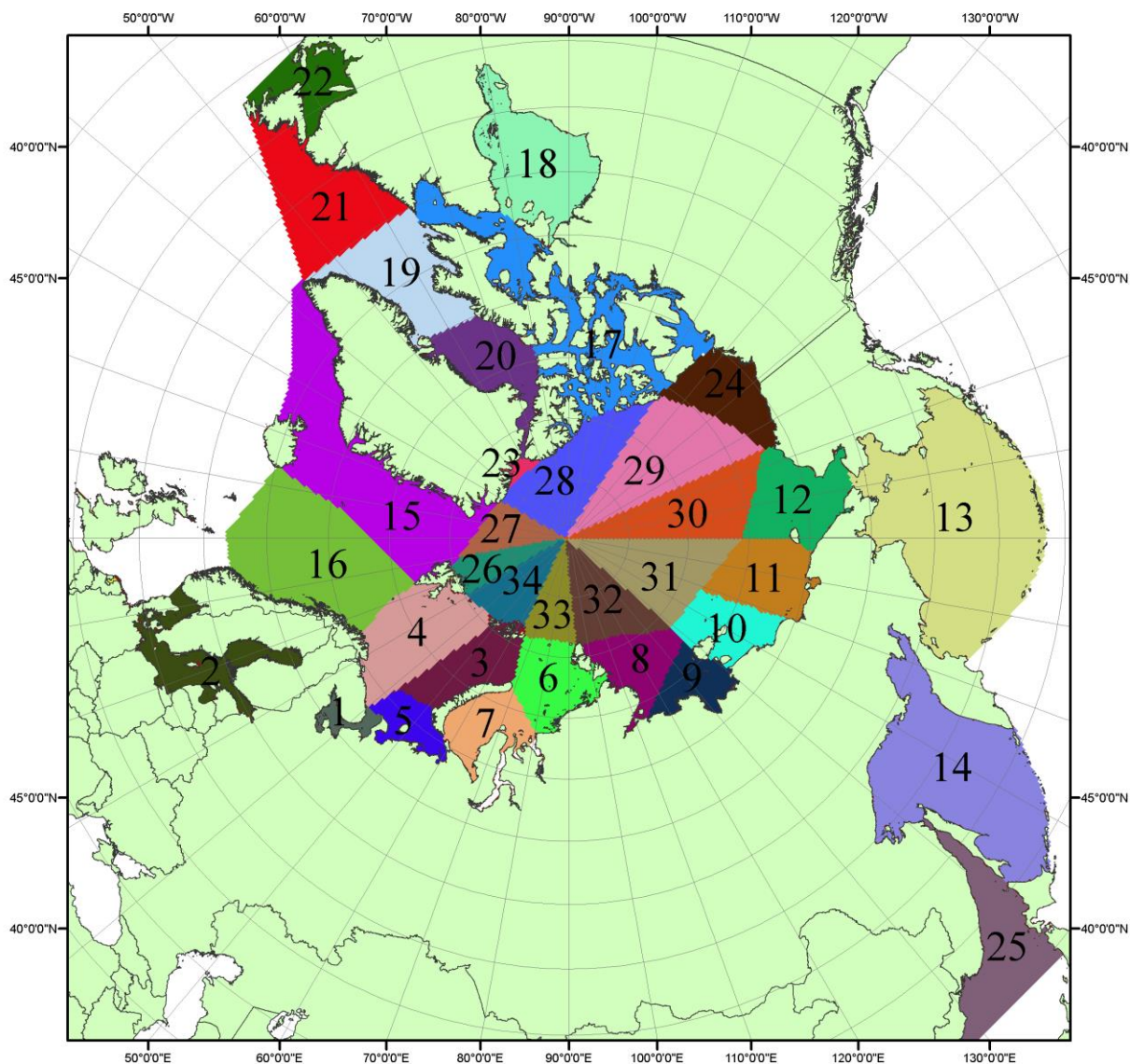


Рисунок П4 – Сектора и моря северной полярной области. 1 - Белое море; 2- Балтийское море; 3 – Баренцево море (СВ); 4 – Баренцево море (З); 5 - Баренцево море (ЮВ); 6 – Карское море (СВ); 7 – Карское море (ЮЗ); 8 – море Лаптевых (В); 9 – море Лаптевых (З); 10 – Восточно-Сибирское море (З); 11 – Восточно-Сибирское море (В); 12 – Чукотское море; 13 – Берингово море; 14 – Охотское море; 15 – Гренландское море; 16 – Норвежское море; 17 – Канадский архипелаг; 18 – Гудзонов залив; 19 – Дейвисов пролив; 20 - море Баффина; 21 – море Лабрадор; 22 - залив Святого Лаврентия; 23 - море Линкольна; 24 - море Бофорта; 25 - Японское море; 26 - сектор АО (30°з.д. – 10°в.д.); 27 – сектор АО (10°в.д. – 30°в.д.); 28 - сектор АО (30°в.д. – 65°в.д.); 29 - сектор АО (65°в.д. – 96°в.д.); 30 - сектор АО (96°в.д. – 140°в.д.); 31 - сектор АО (140°в.д. – 180°в.д.); 32 - сектор АО (180°в.д. – 156°з.д.); 33 - сектор АО (156°з.д. – 123°з.д.); 34 - сектор АО (123°з.д. – 30°з.д.).

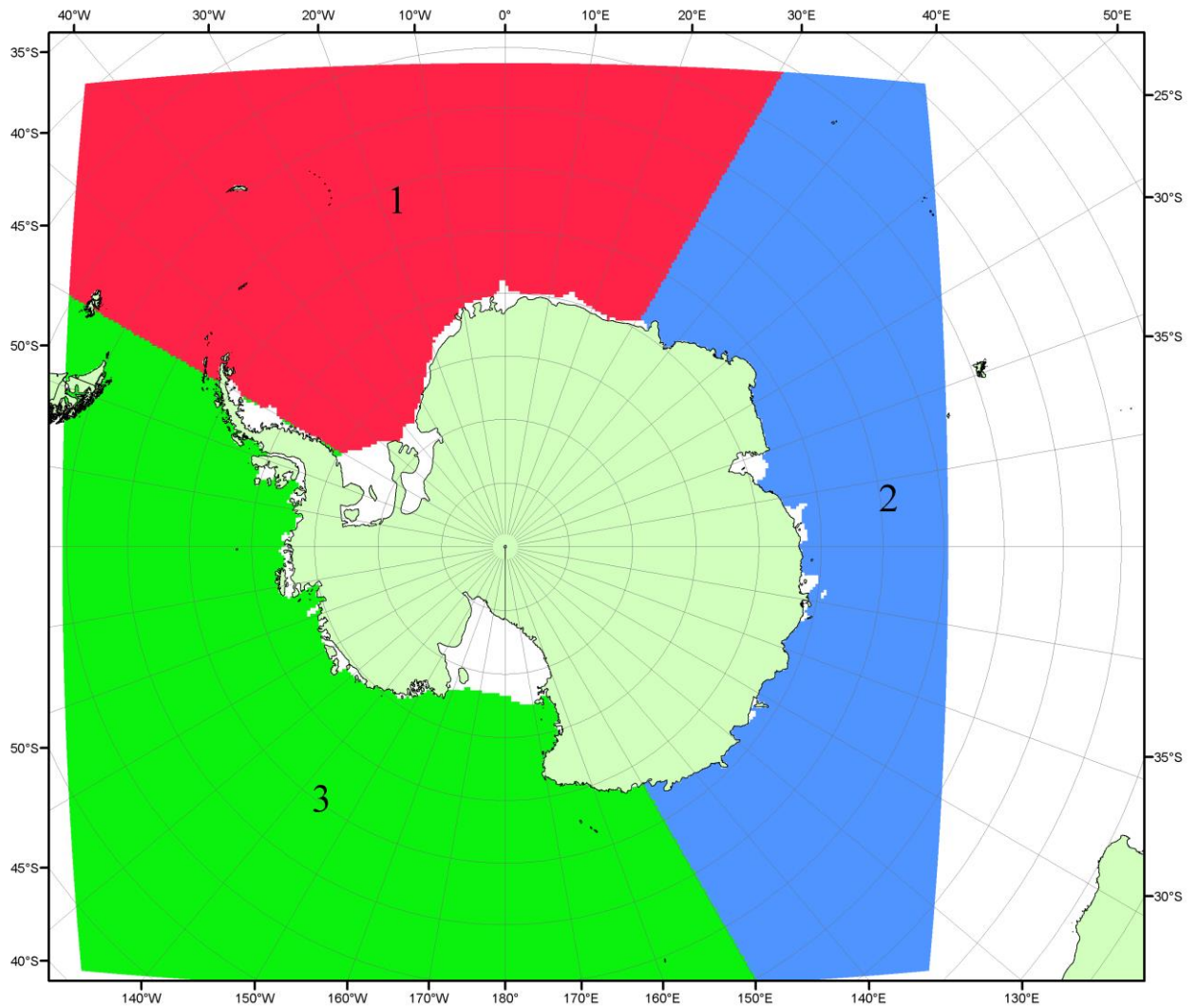


Рисунок П5 – Секторальное деление Южного океана. 1 - Атлантический сектор (60°W-30°E, море Уэдделла); 2 - Индоокеанский сектор (30°E-150°E, моря Космонавтов, Содружества, Моусона); 3 - Тихоокеанский сектор (150°E-60°W, моря Росса, Беллинсгаузена)

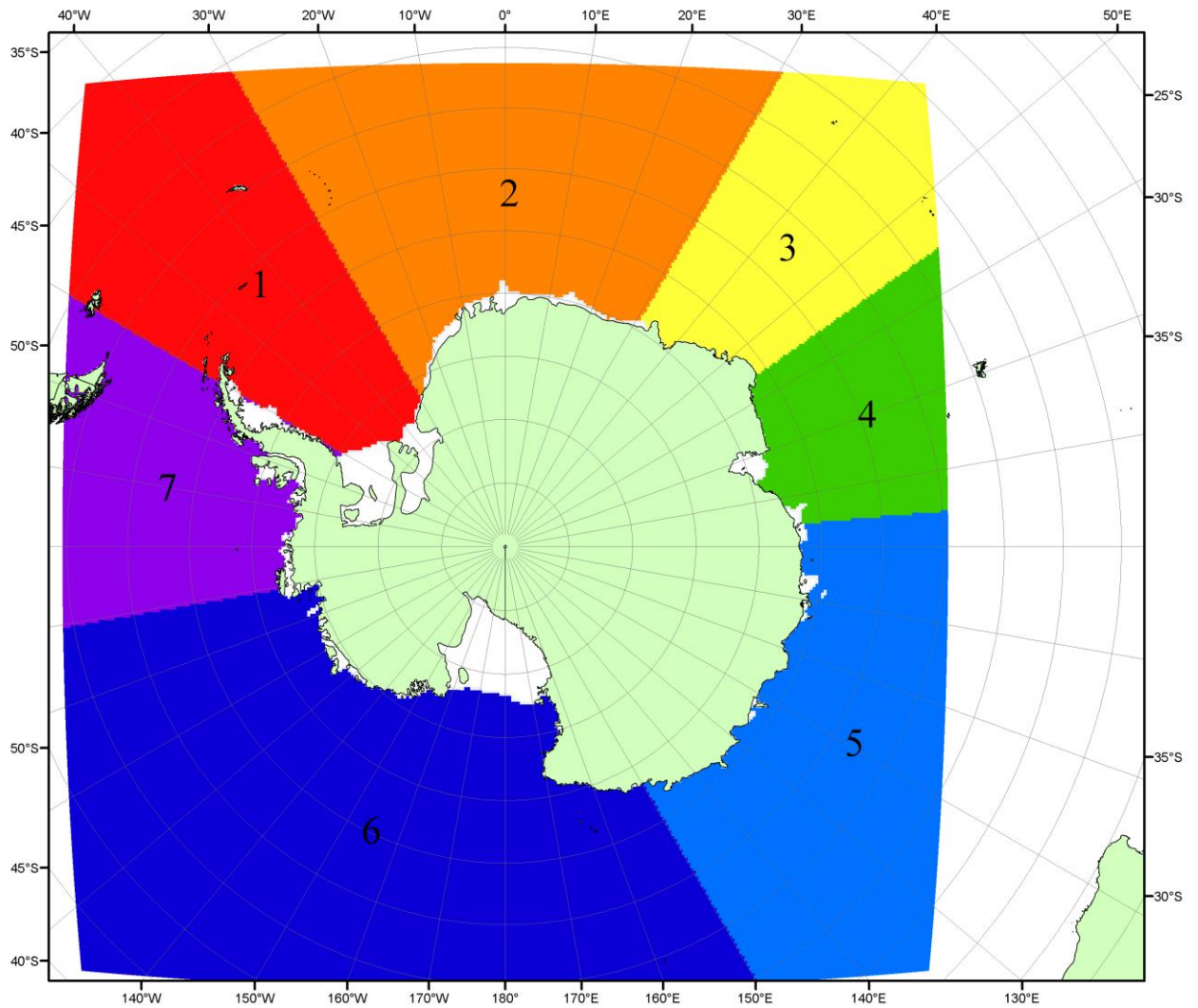


Рисунок П6 – Моря Южного океана. 1 – Западная часть моря Уэдделла; 2- Восточная часть моря Уэдделла; 3 – Море Космонавтов; 4 – море Содружества; 5 – море Моусона; 6 – море Росса; 7 – Море Беллинсгаузена.

## СПИСОК ИСТОЧНИКОВ

1. Атлас океанов. Северный Ледовитый океан. – 1980. М: Изд. ГУНИО МО СССР ВМФ – 184 с.
2. Атлас океанов. Термины. Понятия. Справочные таблицы. - Изд. ВМФ МО СССР.- 1980.
3. Границы океанов и морей. – 1960. Л.: Изд. ГУНИО ВМФ. – 51 с.
4. Andersen, S., R. Tonboe, L. Kaleschke, G. Heygster, and L. T. Pedersen, Intercomparison of passive microwave sea ice concentration retrievals over the high-concentration Arctic sea ice.// J. Geophys. Res. – 2007. – Vol. 112. C08004, doi:10.1029/2006JC003543.
5. Cavalieri, D., C. Parkinson, P. Gloersen, and H. J. Zwally. 1996, updated 2008. *Sea Ice Concentrations from Nimbus-7 SMMR and DMSP SSM/I Passive Microwave Data*, [1978.10.26 – 2007.12.31]. Boulder, Colorado USA: National Snow and Ice Data Center. Digital media.
6. Meier, W., F. Fetterer, K. Knowles, M. Savoie, M. J. Brodzik. 2006, updated quarterly. *Sea Ice Concentrations from Nimbus-7 SMMR and DMSP SSM/I Passive Microwave Data*, [2008.01.01 – 2008.03.25]. Boulder, Colorado USA: National Snow and Ice Data Center. Digital media.
7. Maslanik, J., and J. Stroeve. 1999, updated daily. *Near-Real-Time DMSP SSM/I-SSMIS Daily Polar Gridded Sea Ice Concentrations*, [2008.03.26 – present moment]. Boulder, Colorado USA: National Snow and Ice Data Center. Digital media.
8. Ice Chart Colour Code Standard. - JCOMM Technical Report Series No. 24, 2004, WMO/TD-No.1215.  
([http://jcomm.info/index.php?option=com\\_oe&task=viewDocumentRecord&docID=4914](http://jcomm.info/index.php?option=com_oe&task=viewDocumentRecord&docID=4914))
9. JAXA GCOM-W1 ("SHIZUKU") Data Providing Service - <http://gcom-w1.jaxa.jp/index.html>
10. ACNFS on Internet - <http://www7320.nrlssc.navy.mil/hycomARC>
11. Posey, P.G., E.J. Metzger, A.J. Wallcraft, O.M Smedstad and M.W. Phelps, 2010: [Validation of the 1/12° Arctic Cap Nowcast/Forecast System \(ACNFS\)](#). Naval Report NRL/MR/7320-10-9287, Stennis Space Center, MS.